

Sürtünme Tamburlu (KOEPF)

Kuyu Nöckliyati

- 1 -

Nurmet Jihal

Tuncer ÖZKAN
Mak. Y. Müh

(Bergbau mechanik
Dr. ing. W. Ostermann)

9. 11.

Bergbaumechanik

Dr. Ing. W. Ostermann

{ Almanca tercüme - 1.
kötüklerinden dolayı
Sr. Ramazan KARAASLAN
teşekkür ederim.

Kuyu nakliyatı

a-) Sürünme tənburlu (KOEPE) nakliyattır,
hələt kəyməsinə kərəsi dinamik emniyyət.

Kullanılan simboller ve birimleri:

G_{tot} [kp] - Kafes, skip və ya denpe (kərəsi)
ağırlıkları, kosum töküni, boş ocaq arəbaları,
kuyu hələtləri, və s. ağırlıklarla kərsilik gəlen
ölkə yüksək ağırlık kuvveti (Her bir nakliyat
kənadi işin)

$G_{ü}$ [kp] - Asırı yüksək kuvveti və ya en böyük fərqli
ağırlık kuvveti. Hələt ağırlık kuvvetləri eştir
değilse,
 $G_{ü} = G_{s1} - G_{s2}$ və $G_{ü} = G_n + G_{sü}$
(G_n - Faydalı yüksək)

$(G D_i^2)_S$ [kp m^2] - Her bir hələt kəsnəsinin (Moleti)
səvurma momenti

$G_{sred.} = \frac{(G D_i^2)_S}{D_S^2}$ [kp] - Her bir moletin hələt
merkezine (əzəmə) indirgenmiş ağırlık
kuvveti

$$D_S = \sqrt{\frac{m_i}{f}}$$

F_{S1} [kp] - Halat kurveti (Koepel fanbu -
rundor yüklu taraffuki halat kurveti)

F_{S2} [kp] - Halat kurveti (Koepel fanburunda
yükseks taraffuki halat kurveti)

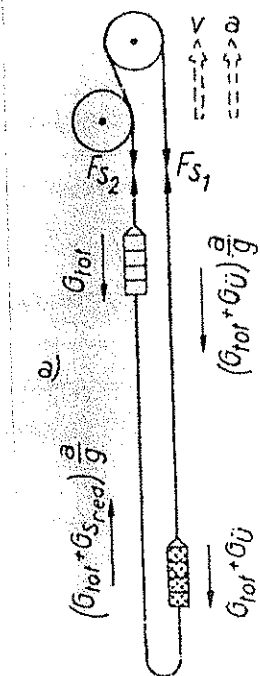
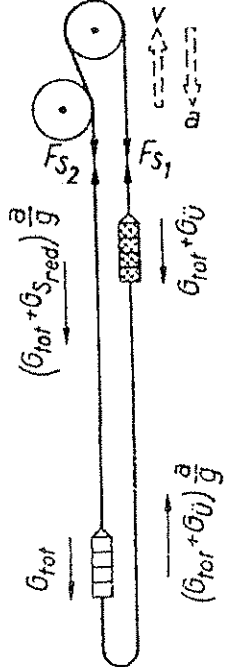
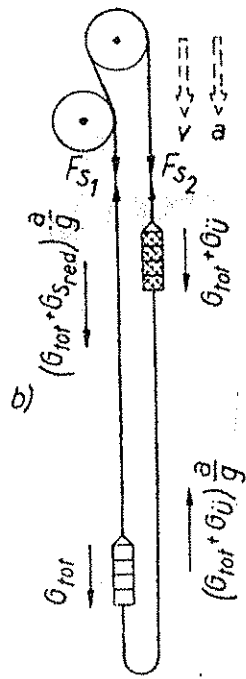
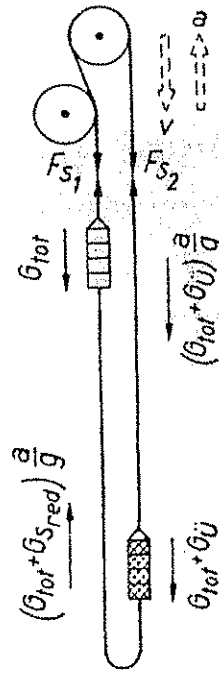
μ - Sırtlinme koefsayısi (Halat ile Koepel fan-
buru arasındaki). Alman mütbeden nizamnamesi
17. paragrafında yer alan dıgnot'a göre, ana
ihraç kuyularında olduğu gibi orta ve küçük
tesisterde, halat ile Koepel fanburu arasındaki
sırtlinme koefsayısi 0,25 olarak verilmiştir.

α - Halat temas açısı (Gerçek - geometrik - Koepel
fanburu veya sırtlinme fanburu kurvamı
 $\alpha \leq 13^\circ$)

İncelemeler önce, Şekil 1 de görüldüğü gibi
kilolaruz kasnaklı kule nakliyat tesistlerinde yapılanmış
tır. Burada yükün şekillenmesi ve indirilmesinde
olduğu gibi harekete geçme (kalkış) ve yarım
dönüş (fronton) için kurvet örnekleri gösterilmiştir.

Kule nakliyat sistemlerinde halat
koşulları emniyeti:

1. Yükün çekilmeye de harekete geçme (kalkış)
ve yükün düz hizmetinde yarım dönüş (fronton)
halatının (Şekil 1: a1, b2),

1-) Harekete
geçme2-) Yavaşlama
(Frenleme)1-) Harekete
geçme2-) Yavaşlama
(Frenleme)

Sekil 1. Sürünme tenburlu (KOEPF) bir kule mekikîyet tesisiinde (sisteminde) oluşan kurvetler (kilavuz kasnak, serbest veya yüksüs dönmeli dir)

- a) Yukan çekilmesinde
- b) Yukan indirilmesinde

F_{S1W} - Ortaya çıkan gercek çekme kurveti [kp]

$$F_{S1W} = m \cdot f + m \cdot \alpha = \underbrace{G_{tot} + G_U}_{m \cdot f} + \frac{G_{tot} + G_U}{f} \cdot \alpha$$

$$F_{S1W} = (G_{tot} + G_U) \left(1 + \frac{\alpha}{f} \right)$$

$$\text{II } F_{S1W} = \left((G_{tot} + G_U)/\rho \right) (f + \alpha)$$

$$F_{S2} = G_{tot} - \frac{(G_{tot} + G_U)}{f} = \frac{G_{tot}}{f} - G_{S,red}$$

$$F_{S2} = G_{tot} - (G_{tot} + G_{s'red.}) \frac{\alpha}{f}$$

$$\underline{F_{S2} = \frac{G_{tot}}{f} (f - \alpha) - \frac{G_{s'red.}}{f} \cdot \alpha}$$

F_{uw} - Gerçek kavraşma eğrisine karşılık gelen
çevre kuvveti [kp]

$$\underline{F_{uw} = F_{s'w} - F_{S2} = [(G_{tot} + G_{ü}) / f] (f + \alpha) - \frac{G_{tot}}{f} (f - \alpha) + \frac{G_{s'red.}}{f} \cdot \alpha}$$

$$F_{uw} = \frac{G_{tot}}{f} (f + \alpha) + \frac{G_{ü}}{f} (f + \alpha) - G_{tot} + \frac{G_{tot}}{f} \alpha + \frac{G_{s'red.}}{f} \cdot \alpha$$

$$\underline{F_{uw} = \frac{2 G_{tot}}{f} \cdot \alpha + \frac{G_{ü}}{f} (f + \alpha) + \frac{G_{s'red.}}{f} \cdot \alpha}$$

F_{uf} - Geometrik kavraşma eğrisine karşılık gelen
çevre kuvveti [kp]

$$F_{uf} = F_{s'} - F_{S2}$$

Burada, yükli surrafteki hafif kuvveti (daha büyük
olan hafif kuvveti) ile ilişkili olarak,

$$F_{s'} = F_{S2} \cdot e^{(\alpha)} \quad (1)$$

esittir: yarıştır.

L. Tugay - 1. sınıf - İngilizce kavraşma eğrisi

$$\text{Şekil 1.1.1. 180}^{\circ}$$

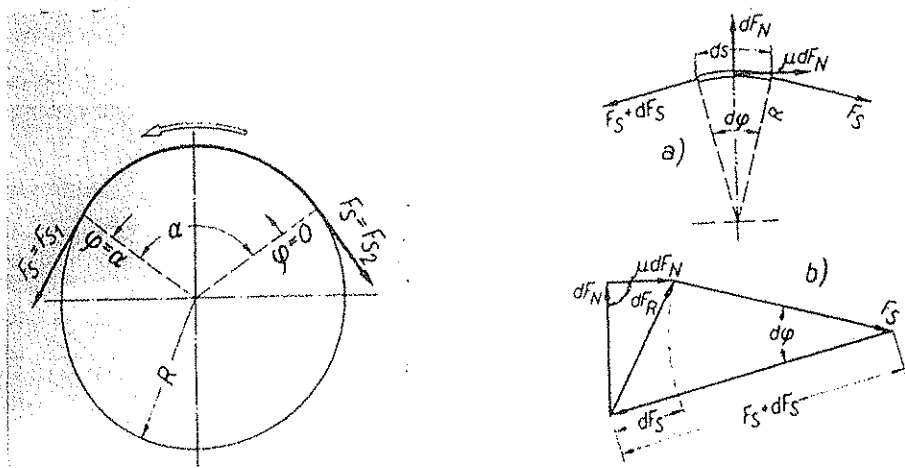
$$F_{uf} = F_{S2} e^{\mu \alpha} - F_{S2}$$

$$\parallel F_{uf} = F_{S2} (e^{\mu \alpha} - 1) = \left[\frac{G_{tot}}{f} (\rho - \alpha) - \frac{G_{sred}}{f} \cdot \alpha \right] (e^{\mu \alpha} - 1)$$

$$F_{S1} = F_{S2} \cdot e^{\mu \alpha} \quad \text{denkleminin nereden geldigine}$$

bir bakalim:

Bir KOEPE təchrik fənburunə sərili halatın, gərgin (yüklü) və pərsek (yüksür) təraaf flərinədəki ferme kuvvetləri F_{S1} və F_{S2} , halatla fənbur arasında: yüzəy basincı ρ və sırtfinmə kəfəsayisi μ olsun.



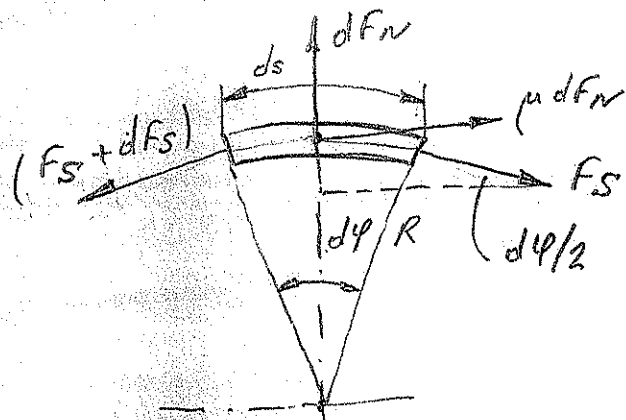
Şekil 2. KOEPE fənburu və bir halat elementinin tesir eden kuvvetler.

$d\varphi$ yaxılı bir halat elementinin parəmətrik düzənim (Şekil 2).

Bu elementin nəslini tesir edən ferme kuvvetləri: F_S və $(F_S + dF_S')$ dir. Ayrıca, yuxarı basıncınə dələyi fənburun tətbiq etdiyi, və dələyi təqib etdiyi sırtfinmə (fermə) kuvveti (dələyi və sırtfinmə kuvvette) halat elementinin

tesir eden kuvvetlerdir.

Düsey kuvvetlerin dengesinden,



$$df_N = F_S \sin \frac{d\varphi}{2} + (F_N + df_N) \sin \frac{d\varphi}{2}$$

$$\therefore df_N = 2 F_S \cdot \sin \frac{d\varphi}{2} + df_N \cdot \sin \frac{d\varphi}{2}$$

ikinci mertebeden terimler ihməl edilir ve αfının
küçük ölçüdə fərəz olunursa ($\sin \frac{d\varphi}{2} \approx \frac{d\varphi}{2}$),

$$df_N = 2 F_S \cdot \frac{d\varphi}{2} \rightarrow df_N = F_S \cdot d\varphi$$

elde edilir.

Yatay kuvvetlerin dengesinden,

$$(F_N + df_N) \cos \frac{d\varphi}{2} = F_S \cdot \cos \frac{d\varphi}{2} + \mu df_N$$

$$df_N \cdot \cos \frac{d\varphi}{2} = \mu df_N$$

$$\cos \frac{d\varphi}{2} \approx 1$$

olduğundan

$$df_N = \mu df_N$$

$$df_N = F_S \cdot d\varphi \quad (\text{Yukarıda elde edilir}) \quad \text{yoxsa}$$

komşusası.

$$df_N = F_S \cdot d\varphi$$

$$\frac{dF_S}{F_S} = \mu d\varphi$$

$$\int \frac{dF_S}{F_S} = \mu \int d\varphi$$

elde edilir. Burada,

$$\begin{aligned} \varphi = 0 &\rightarrow F_{S1} = F_{S2} \quad \left\{ \text{Sınır şartları ile} \right. \\ \varphi = \alpha &\rightarrow F_{S1} = F_{S2} \quad \left\{ \text{integral sonucu,} \right. \end{aligned}$$

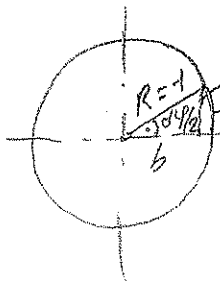
$$\int \frac{dF_S}{F_S} = \mu \int_0^\alpha d\varphi$$

$$\ln \frac{F_{S1}}{F_{S2}} = \mu \cdot \alpha \rightarrow \frac{F_{S1}}{F_{S2}} = e^{\mu \alpha}$$

$$\underline{\underline{||}} \quad F_{S1} = F_{S2} \cdot e^{\mu \alpha}$$

büçütüsünü verir.

Not:



$$R=1 \quad \widehat{\alpha} = \alpha \quad \frac{d\varphi}{2} = \frac{\alpha}{2} \quad (\text{Trigonometrik \f{e}mber})$$

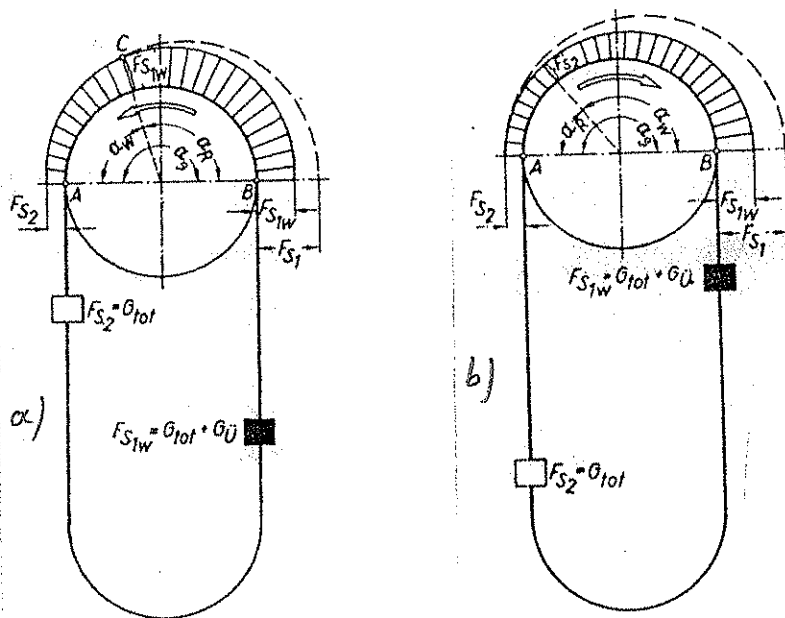
$$\sin \frac{d\varphi}{2} = \frac{\alpha}{R} = \alpha \approx \widehat{\alpha} = \frac{d\varphi}{2}$$

$$\cos \frac{d\varphi}{2} = \frac{b}{R} \approx 1$$

F_{S1} , F_{S2} ve F_{Sw} kurvetleri Şekil 13 ten de incelenebilir.

Haberdar olmak üzere kartezyen koordinat sistemine göre F_{S1} ve F_{S2} kurvetlerinin formu $y = f(x)$ olurken F_{Sw} kurveti

formu $x = g(y)$ olur. Bu kurvetlerin y düzlemindeki sınırları a ve b olsun.



Sekil 3 - Sürünme təmurlu (KOEPE) nəkliyatla
haclat kurvəfləri:

a) Yükin şəkilmesi:

b) Yükin indirilmesi:

α_f - Geometrik kərəməc yaxı

α_w - Sürünme yaxı

$\alpha_R = \alpha_f - \alpha_w$ (Hareketsiz sürünme yaxı)

$$\nu_{R\text{dyn}} = \frac{F_{uf}}{F_{uw}}$$

formulu ilə təminlanmıştır. F_{uf} və F_{uw} deyərləri

ile,

$$[G_{tot} (\beta - \alpha) - G_{S\text{red}} \cdot \alpha] (e^{\mu d} - 1) \quad (2)$$

$$\nu_{R\text{dyn}} = \frac{2 G_{tot} \cdot \alpha + G_{ij} (\beta + \alpha) + G_{S\text{red}} \cdot \alpha}{2 G_{tot} \cdot \alpha + G_{ij} (\beta + \alpha) + G_{S\text{red}} \cdot \alpha}$$

elde edilir.

Sekil 3 de, yükün şəkilmesi və indirilmesi haclindeki
kurvəflərin şəhərlərim:

$$F_{S2W} = F_{S1W} + G_U$$

$$F_{S2} = G_{tot}$$

$$F_{vw} = F_{S'vw} - F_{S_2} = G_{tot.} + G_{ii} - G_{tot.}$$

$$F_{uw} = G_u \quad \dots \quad \dots \quad \dots \quad \dots \quad \dots \quad \dots \quad \dots \quad (3)$$

Diger farværfarve,

$$F_{uf} = F_{s1} - F_{s2} = F_{s2} \cdot e^{-\frac{u}{u_0}} - F_{s2}$$

$$F_{uf} = F_{S2} \left(e^{(\alpha_f^{\text{ref}} - 1)} \right)$$

$$F_{\text{up}} = G_{\text{tot.}} \left(e^{(\alpha_F - 1)} \right) \quad \dots \quad (4)$$

✓

\Rightarrow Hacim kaymasının karşı statick emniyet koefisyonu

$$V_R = \frac{F_{Ug}}{F_{Uw} + G_{tot} (e^{m \phi} - 1)}$$

$$V_R = \frac{G}{\mu}$$

elle édition.

Eşitlik 2 de, $\sqrt{R_{dyn.}} = 1$ konusunda hatalı kaymاسının
kararsız (denperisiz) sınır değeri için;

- Yükün indirilmesinde yanlışlıkla edilen məxf. Yoxsul həmçinin (məxf. azaların iması)

very,

- veyse,
• Yukarıda teknik mesinde misyonaride edilen Marx. hizlennmesi
(marx. ortam ismine)

Hesaplar. *Hesaplıyalı*;

$$2G_{\mu_1} \cdot e^{-\alpha} \leq G_{\mu} \cdot (e+\alpha) + G_{5\text{red}} \cdot \alpha \leq [G_{\mu_1} \cdot (e-\alpha) + G_{5\text{red}} \cdot \alpha] \cdot (e-1)$$

$$\alpha [G_{\text{tot.}}(1 + e^{-\frac{\mu}{kT}}) + G_{S,\text{ext.}}e^{-\frac{\mu}{kT}} + G_0] \leq \rho [G_{\text{tot.}}(e^{-\frac{\mu}{kT}}) - G_0]$$

$$\alpha \leq \frac{G_{tot} \cdot (e^{\mu\alpha} - 1) - GÜ}{G_{tot} \cdot (e^{\mu\alpha} + 1) + G_{Sred} \cdot e^{\mu\alpha} + GÜ} \cdot f \quad \dots \quad (5)$$

2- Yükün şekillmesinde yavaşlama (frenleme) ve yükün indirilmesinde harekete geçme (kaçış) hâlini için (Şekil 1: α_2 , b_1) ;

1 haline benzer şekilde kuvvetleri yazalım ;

$$F_{S1W} = \frac{G_{tot} + GÜ}{f} (f - \alpha)$$

$$F_{S2} = \frac{G_{tot}}{f} (f + \alpha) + \frac{G_{Sred} \cdot \alpha}{f}$$

$$F_{UW} = \frac{GÜ}{f} (f - \alpha) - \frac{2 G_{tot} \cdot \alpha}{f} - \frac{G_{Sred} \cdot \alpha}{f}$$

$$F_{UF} = \left[\frac{G_{tot}}{f} (f + \alpha) + \frac{G_{Sred} \cdot \alpha}{f} \right] (e^{\mu\alpha} - 1)$$

$$V_{Rdyn.} = \frac{F_{UF}}{F_{UW}}$$

$$V_{Rdyn.} = \frac{[G_{tot} \cdot (f + \alpha) + G_{Sred} \cdot \alpha] (e^{\mu\alpha} - 1)}{GÜ \cdot (f - \alpha) - 2 G_{tot} \cdot \alpha - G_{Sred} \cdot \alpha} \quad \dots \quad (6)$$

Eşitlik 2 ile eşitlik 6 yi karşılaştırırsak ,
eşitlik 6 nın eşitlik 2 ye göre :

- Pasya daha büyük

- Pasya , $f + \alpha$ 'nin $f - \alpha$

olduğu söylenir .

Yani, hələt kaymələrinin kəsi dinamik emniyyət - 11-
 2 halinde 1 halindən dənəcə böyükfür. Demek ki;
 yüksək çəkilmesində müşəxəde edilən yoxaşlaçma ve
 yüksək indirilmesində müşəxəde edilən hızaçma ivme
 hələtlerinin hesaplanması gerekləyik. Anə hələt
 nəckliyat sistemləri iñin "Madden Nizəmnəməsi" de
 sədəccə 1. hal iñin yüksək indirilmesində müşəxəde
 edilən yoxaşlaçma ivmesinin hesabını istəməkdir.

Arazi üzərindəki (yerde karabu) nəckliyat fəsilərinde
 ve BERGHOFF'a görə kurulan vinslərdə kaymə emniyyəti
 yetinin inçelenmesi iñin Şəkil 4'e görə surfunne fənbür
 seviyesi: altindakı ölü yük ağırlık kuvveti (G_{tot}),
 hər nəckliyat fərəqinin (koordinatın) hələt ağırlık kuvveti
 ləri hesaplanacaqtır. Burada;

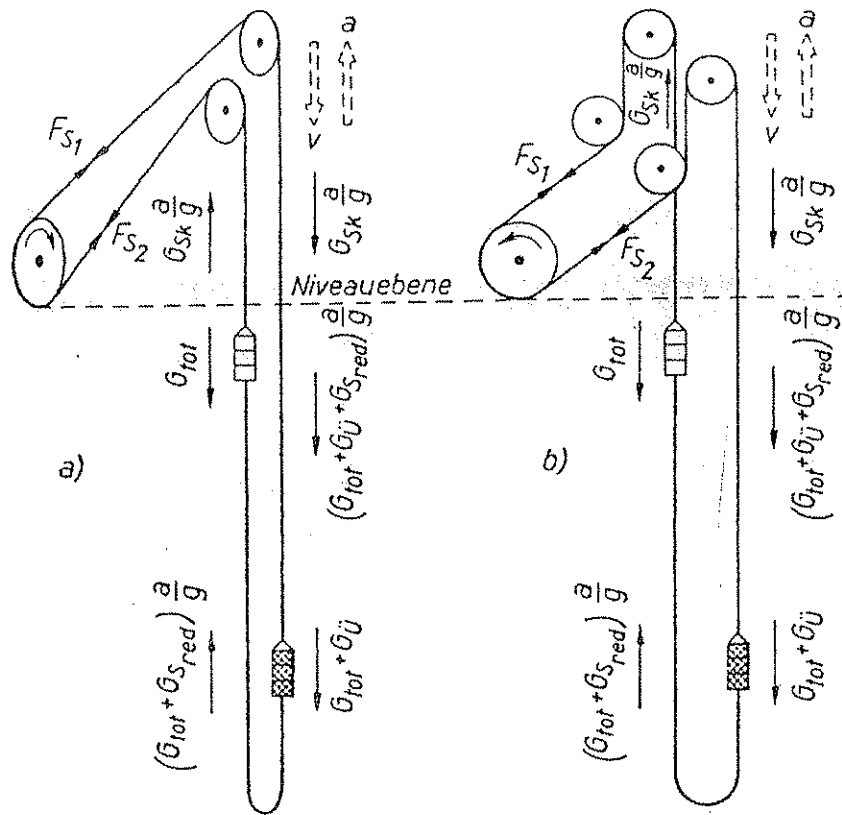
G_{sk} [kp] - Bir nəckliyat koordinatı, surfunne fənbüründən çıçıp hələt kəsnəçisi üzərində
 peçerek surfunne fənburu seviyəsinə kəndən
 üzənən hələt parçasının ağırlık kuvveti.

Şəkil 4-a və b-dən faydalanaarak, yüksək indirilmesində
 yoxaşlaçma iñin desəxplidəki denkleməni yaradıbılırız.

$$F_{S1W} = G_{tot} + G_{ü} + (G_{tot} + G_{ü} + G_{red} + G_{sk}) \frac{\alpha}{f}$$

$$F_{S1W} = \frac{G_{tot} + G_{ü}}{f} (f + \alpha) + \frac{G_{red} + G_{sk}}{f} \cdot \alpha$$

$$F_{S2} = G_{tot} - (G_{tot} + G_{red} + G_{sk}) \frac{\alpha}{f}$$



Sekil 4 - Sürünme fanburlu nacliyat

tesisinde (sisteminde) olusuen
kuvvetler, yükün indirilmesinde
yorumlanmas.

a) Yer (varoz) seviyesinde kurulu
nacliyat tesisi:

b) BERGHOFF'a göre kurulan wins

$$F_{UW} = F_{S1W} - F_{S2} = \left(2G_{tot} + 2G_{Sred} + 2G_{sk} + G_U \right) \frac{\alpha}{f} + G_U$$

$$F_{Uf} = F_{S2} \left(e^{\frac{\alpha \omega}{f}} - 1 \right)$$

$$F_{Uf} = \left[G_{tot} - \left(G_{tot} + G_{Sred} + G_{sk} \right) \frac{\alpha}{f} \right] \left(e^{\frac{\alpha \omega}{f}} - 1 \right)$$

$$V_{Rdyn} = \frac{F_{Uf}}{F_{UW}} = \frac{\left[G_{tot} - \left(G_{tot} + G_{Sred} + G_{sk} \right) \frac{\alpha}{f} \right] \left(e^{\frac{\alpha \omega}{f}} - 1 \right)}{\left(2G_{tot} + 2G_{Sred} + 2G_{sk} + G_U \right) \frac{\alpha}{f} + G_U} \quad (7)$$

Yükün indirilmesinde mütəxəsədə edilən yaradıcı formanın (əzəalan ivmə) hesablanması üçün, $V_{R\text{dyn}} = 1$ deyəri ilə Eşitlik 7 kullanılır.

$$\begin{aligned}
 & \left[(2G_{\text{tot}} + 2G_{\text{Sred}} + 2G_{\text{Sk}} + G_{\text{ü}}) \frac{\alpha}{f} + G_{\text{ü}} \right] \leq \left[G_{\text{tot}} - (G_{\text{tot}} + G_{\text{Sred}} + G_{\text{Sk}}) \frac{\alpha}{f} \right] (e^{\mu\alpha} - 1) \\
 & \frac{\alpha}{f} \left[2G_{\text{tot}} + 2G_{\text{Sred}} + 2G_{\text{Sk}} + G_{\text{ü}} + (G_{\text{tot}} + G_{\text{Sred}} + G_{\text{Sk}}) (e^{\mu\alpha} - 1) \right] \\
 & \leq G_{\text{tot}} (e^{\mu\alpha} - 1) - G_{\text{ü}} \\
 & \frac{\alpha}{f} \left[G_{\text{tot}} + G_{\text{Sred}} + G_{\text{Sk}} + G_{\text{ü}} + (G_{\text{tot}} + G_{\text{Sred}} + G_{\text{Sk}}) e^{\mu\alpha} \right] \\
 & \leq G_{\text{tot}} (e^{\mu\alpha} - 1) - G_{\text{ü}} \\
 & \frac{\alpha}{f} \left[(G_{\text{tot}} + G_{\text{Sred}} + G_{\text{Sk}}) (e^{\mu\alpha} + 1) + G_{\text{ü}} \right] \\
 & \leq G_{\text{tot}} (e^{\mu\alpha} - 1) - G_{\text{ü}} \\
 & \frac{G_{\text{tot}} (e^{\mu\alpha} - 1) - G_{\text{ü}}}{(G_{\text{tot}} + G_{\text{Sred}} + G_{\text{Sk}}) (e^{\mu\alpha} + 1) + G_{\text{ü}}} - f - - - - - \quad (8) \\
 & \alpha \leq \frac{(G_{\text{tot}} + G_{\text{Sred}} + G_{\text{Sk}}) (e^{\mu\alpha} + 1) + G_{\text{ü}}}{G_{\text{tot}} (e^{\mu\alpha} - 1) - G_{\text{ü}}}
 \end{aligned}$$

Ancı ihsas tezisleri üçün mədən nizamnaməsi (Alman), yüksək indirilirken mütəxəsədə edilən (əmniyyətli) yaradıcı formanın hesablanması üçündən surətində təmər seviyesi üstündəki həsablamalarla sürətində təmər seviyesi üstündəki hələt apărılık kurvətinin effisini dikkate almır. Nizamnamə hələt apărılık kurvətinin effisini dikkate almaz. Nizamnamə kuyunun her id. təmərində də hələt apărılıklarını esit etməsi dolaylılığı hesabla bəsitleşdirmişdir. Aksı tək direkt, həqiqi və dənəcə hələt apărılıklarında təsdiq olunur. Ləzəm fırıldak kurvətlərin pəzənində tutulması.

perekceketi. Bu hesaplama larda kullanabileceğimiz semboller aşağıdaki verilmiştir:

$G_K [kp]$ - Skip veya kafesin koşum faktörleri ile birlikte toplam ağırlık kuvveti

$G_W [kp]$ - Nakliyatın bir taraflındaki boş araclarının ağırlık kuvveti

$G_{S1} [kp]$ - Nakliyatın bir taraflındaki derinliği (T) bağılı halat ağırlık kuvveti (farklı ağırlık kuvvetlerinde, fasyalar ve denge halat ağırlık kuvvetlerinden daha ağır olan halatin ağırlık kuvveti)

$G_{S2} [kp]$ - Nakliyatın diğer taraflındaki derinliği (T) bağılı halat ağırlık kuvveti (farklı ağırlık kuvvetlerinde, fasyalar ve denge halat ağırlık kuvvetlerinden daha hafif olan halatin ağırlık kuvveti)

$G_{SÜ} [kp]$ - Dengede olmayan halatin fazla ağırlığı (Denge lenmemiş halat ağırlığı) $G_{SÜ} = G_{S1} - G_{S2}$

$G_N [kp]$ - Her skip veya kafesin faydalı (olarası) yükü

$G_{Ü} [kp]$ - Bir nakliyat taraflarına diğer tarafları faire et büyük fazla ağırlık kuvveti (Yükün fazla düşen taraftaki en büyük tarafla eşitlik kuvveti)

$$G_{\text{ü}} = G_N + G_{\text{su}}$$

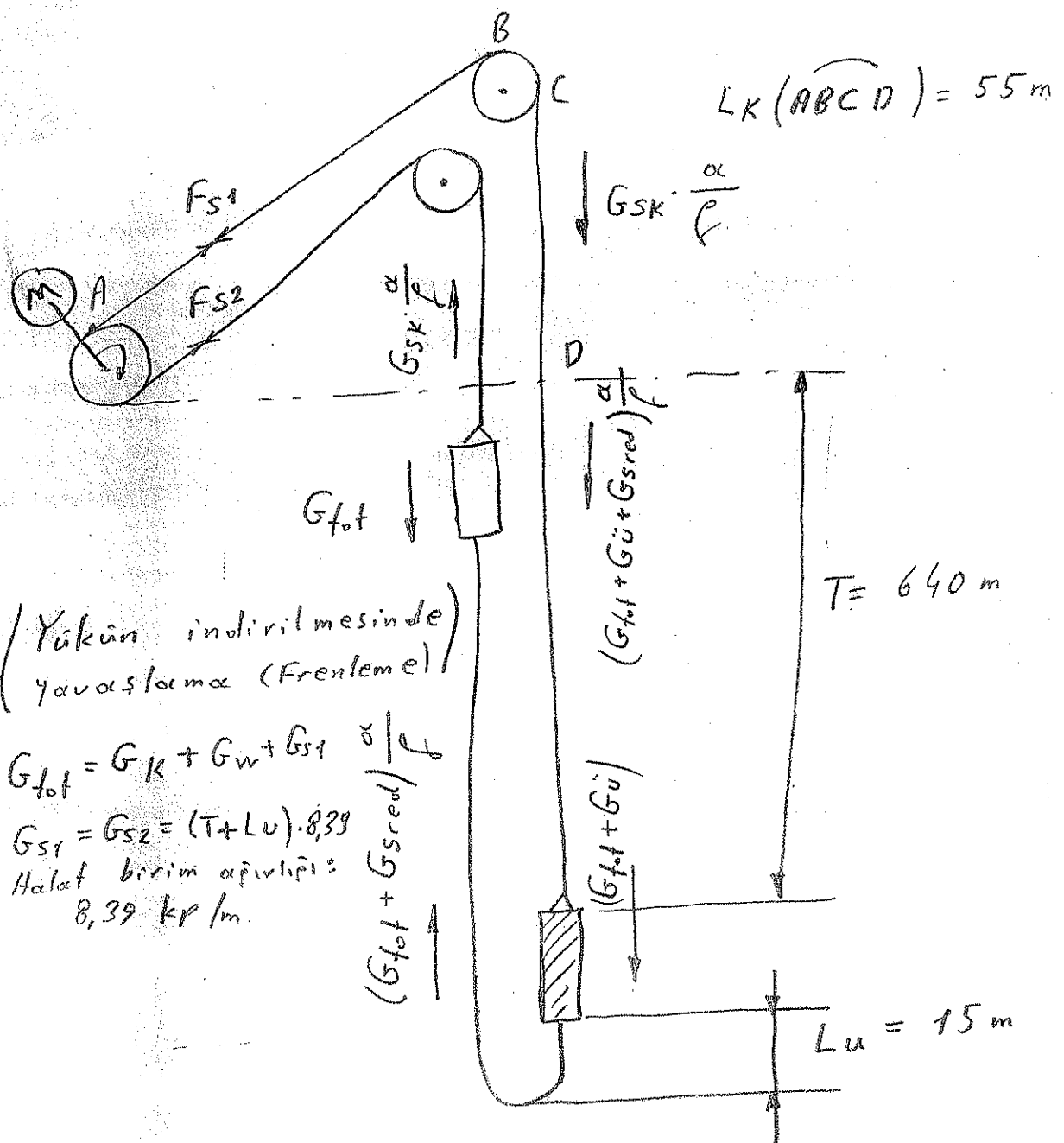
Bu semboller ve G_{sk} nin şöyledi edilmesiyle
 $(G_{\text{sk}} = 0)$, Esitlik 8 olen 1. 8. 1957 tarihli
 onceki fesislerin Alman nizamnamesinin
 144. sayfasinda yer alan önsözdeki esitlik orta-
 ya eklidir.

$$\underline{\underline{d_s' \leq \frac{(G_K + G_w + G_{s2})(e^{\mu\alpha} - 1) - G_{\text{ü}}}{(G_K + G_w + G_{s2} + G_{sred})(e^{\mu\alpha} + 1) + G_{\text{ü}}}}} \quad (9)$$

Örnek : Bir yer naftiyat vincinin sırtlinme fanburnu
 kuyu bası seviyesindedir. Sırtlinme fanburnun
 olen çirkip halaf koşnagi (Molef) üzerinden
 geçerek sırtlinme fanburnu seviyesine kovulur
 uzunluğu halat uzunluğu $L_k = 55\text{m}$. Kuyu
 derinliği: $T = 640\text{m}$. Kuyu dibindeki koefisin altindan
 katlan dengi halatı uzunluğu $L_u = 15\text{m}$. Taşıyıcı
 ve dengi halatinin birimvisilik kuvveti: $8,39\text{ kp/m}$;
 $G_N = G_{\text{ü}} = 6000\text{ kp}$; $G_K = 5800\text{ kp}$; $G_w = 3200\text{ kp}$;
 $G_{s2} = 0$; $\mu = 0,25$; $\alpha = 186^\circ$ dir.

Faydalı yükün indirilmesinde müsaade edilen (emniyetli)
 şartlar şasılmalıdır:

$G_{\text{ü}} + G_{\text{sk}}$ halatı rafitlik kuvvetlerinin sırtlinme
 olarakki yani Esitlik 8 'e göre



G_{SK} - Hacat parçası L_K nin ağırlık kuvveti.

$$G_{\text{sk}} = G_{\text{ü}} = 6000 \text{ kp} \quad (\text{Faydalı yük})$$

$G_N = G_U = 6000 \text{ kp}$ (Topluk ve kafesin toplam torkları)
 $G_K = 5800 \text{ kp}$ (Skip ve kafesin kuvveti)

$G_w = 3200 \text{ kp}$ (Nakliyatın bir tarafindaki boş
arabaların ağırlık konusunda)

$$(G D_i^2)_{S'} = 230\,000 \text{ kpm}^2 \text{ (Herbig molefin Lourmarin)}$$

$$P_S = \phi T_m \quad (\text{Molef } \text{sof})$$

$$D_S = \phi 7 \text{ m} \quad (\text{Molat } \varphi 67^\circ) \\ \alpha = 186^\circ \quad (\text{Hölat Konvergenz } \alpha 186^\circ)$$

nr 325 (Särfinne kulttuuri)

b) Aşağıdaki tesisleri için Alman maddenin nizom normesinin emniyet faktörleri için geçerli olan Eşitlik 9'a göre hesaplanacaktır. - 96-

Fözüm :

$$e_{pq} = e^{\mu \alpha \frac{\pi}{180^\circ}} = e^{0,25 \cdot 186^\circ \frac{\pi}{180^\circ}} = e^{0,8116} \approx 2,25$$

$$\parallel e^{\mu \alpha} \approx 2,25$$

a) Hafif ağırlık kuvvetleri;

$$G_{S1} = G_{S2} = (T + L_U) \cdot 8,39 \text{ kNm} \\ = (640 + 15) \text{ m} \cdot 8,39 \text{ kNm}$$

$$\parallel G_{S1} = G_{S2} \approx 5500 \text{ kp}$$

• Ölü yük ağırlık kuvveti;

$$G_{f,1} = G_K + G_W + G_{S1} = (5800 + 3200 + 5500) \text{ kp}$$

$$\parallel G_{f,1} = 14500 \text{ kp}$$

• Her bir moletin hafif merkezine (ortasına) indirgenmiş ağırlık kuvveti;

$$G_{S,\text{red.}} = \frac{(G D_s^2)_S}{D_s^2} = \frac{230000 \text{ kNm}^2}{(7,0 \text{ m})^2}$$

$$\parallel G_{S,\text{red.}} \approx 4700 \text{ kp}$$

Sürtünme tenkut servisi istanbul'daki halat: 17-
ağırlık kuvveti,

$$G_{SK} = LK \cdot 8,39 \text{ kp/m} = 55 \text{ m} \cdot 8,39 \text{ kp/m}$$

$$\parallel G_{SK} = 461 \text{ kp}$$

Faydalı yük;

$$\parallel G_N = 6000 \text{ kp} \quad (\text{Verilmiş})$$

Yüklü taraftaki en büyük ağırlık kuvveti;

$$G_U = G_N + G_{SU}$$

Denge lenmemis halat ağırlığı, $G_{SU} = 0$

$$\parallel G_U = G_N = 6000 \text{ kp} \quad (\text{Verilmiş})$$

$$\alpha \leq \frac{G_{Tot} (e^{\mu\alpha} - 1) - G_U}{(G_{Tot} + G_{red} + G_{SK})(e^{\mu\alpha} + 1) + G_U} \cdot f \quad (\text{Eşitlik 8})$$

$$\alpha \leq \frac{14500 \text{ kp} (2,25 - 1) - 6000 \text{ kp}}{(14500 + 4700 + 461) \text{ kp} (2,25 + 1) + 6000 \text{ kp}} \cdot 9,81 \text{ m/s}^2$$

$$\parallel \alpha \leq 1,70 \text{ m/s}^2$$

$$b) \alpha_s \leq \frac{(G_K + G_N + G_{S2})(e^{\mu\alpha} - 1) - G_U}{(G_K + G_N + G_{S2} + G_{red})(e^{\mu\alpha} + 1) + G_U} \cdot f \quad (\text{Eşitlik 9})$$

Skip veya kafesin koşum takımları ile birlikte toplam ağırlık kuvveti;

$$\parallel G_K = 5800 \text{ kp} \quad (\text{Verilmiş})$$

Yükseki tarafındaki (kanat taktiği) boş veack arabalarının ağırlık kuvveti;

$$\parallel G_W = 3200 \text{ kp} \quad (\text{Verilmiş})$$

Kuyu derinliğine (T) bağlı halat ağırlık kuvvetleri;

$$G_{S1} = G_{S2} = T \cdot 8,39 \text{ kp/m} = 640 \text{ m} \cdot 8,39 \text{ kp/m}$$

$$\parallel G_{S1} = G_{S2} = 5370 \text{ kp}$$

$$\alpha'_s \leq \frac{(5800 + 3200 + 5370) \text{ kp} (2,25-1) - 6000 \text{ kp}}{(5800 + 3200 + 5370 + 4700) \text{ kp} (2,25+1) + 6000 \text{ kp}} \cdot 9,81 \text{ m/s}^2$$

$$\parallel \alpha'_s \leq 1,73 \text{ m/s}^2$$

Ancak bu tesisler için Alman Maden Nizamnamesi

sinin Esneklik 9'a göre hesaplanan müsade edilir

(eniyetti) yarastırma sonuçları, dochuc doğru

sonuçlar elle edilen Esneklik 8'e göre öneksiz farklılıklar göstermektedir. Benzer sonuçlar,

BERGHOFF'un SHT 4b'ye göre yer istihde (zeminde) kurulmuş vinçlerde de beklenmektedir. Eğer vinç,

- 12 -

yerüstü zemininden asağıda kurulmuş ise, sonuçları önemli farklılıklar gösterirler. Aşağıdaki örnekte olduğum gibi.

Örnek: Bir vinç iki yükleme noktası arasında hizmet vermektedir. İki yükleme noktası arasındaki mesafe $T = 100\text{m}$ ve vinç, BERGHOFF'un Şekil 4b'ye göre alt kottağı yükleme noktasının bulunduğu konuda kurulmuştur. Diğer veriler:

$$\bullet L_k = 57\text{m} + 2 \cdot T = 57\text{m} + 2 \cdot 100\text{ m} = 257\text{m}.$$

$$\bullet L_u = 15\text{ m}.$$

. Taşıyıcı ve denge halatının birim ağırlık kuvveti $3,68\text{ kp/m}$

$$\bullet G_v = G_{\text{ü}} = 2200\text{ kp}, G_k = 3200\text{ kp}, G_w = 1600\text{ kp}$$

. Her iki nakliyat tarafinda 2 molet (halat)

. konusuz) ve her moletin savurulucu momenti

$$(G D_i^2)_S = 1800\text{ kp m}^2$$

$$\bullet D_S = 2,0\text{ m}, \mu = 0,25, \alpha = 180^\circ$$

Faydalı yük indirilirken misaade edilen (emniyetli) yavaşlama (azalan ırmak);

a) Eşitlik 8'e göre,

b) Anas ihraç testisleri: isim, Alman Maden Nizamnamesinde yer alan Eşitlik 9'e göre hesaplanır.

Fazla

$$\mu_d = e^{\frac{0,25 \cdot 180^\circ - \pi}{180^\circ}} = e^{0,7854}$$

$$\mu_d \\ || e^{-1} = 2,20$$

$$\alpha) G_{S1} = G_{S2} = L_u \cdot 3,68 \text{ kP/m} = 15 \text{ m} \cdot 3,68 \text{ kP/m}$$

$$|| G_{S1} = G_{S2} = 55 \text{ kP}$$

$$G_{tot.} = G_K + G_W + G_{S2} = (3200 + 1400 + 55) \text{ kP}$$

$$|| G_{tot.} = 4655 \text{ kP}$$

$$G_{sred.} = 2 \cdot \frac{(G D_i^2)}{D_s^2} = 2 \cdot \frac{1800 \text{ kP m}^2}{(2,0)^2}$$

$$|| G_{sred.} = 900 \text{ kP}$$

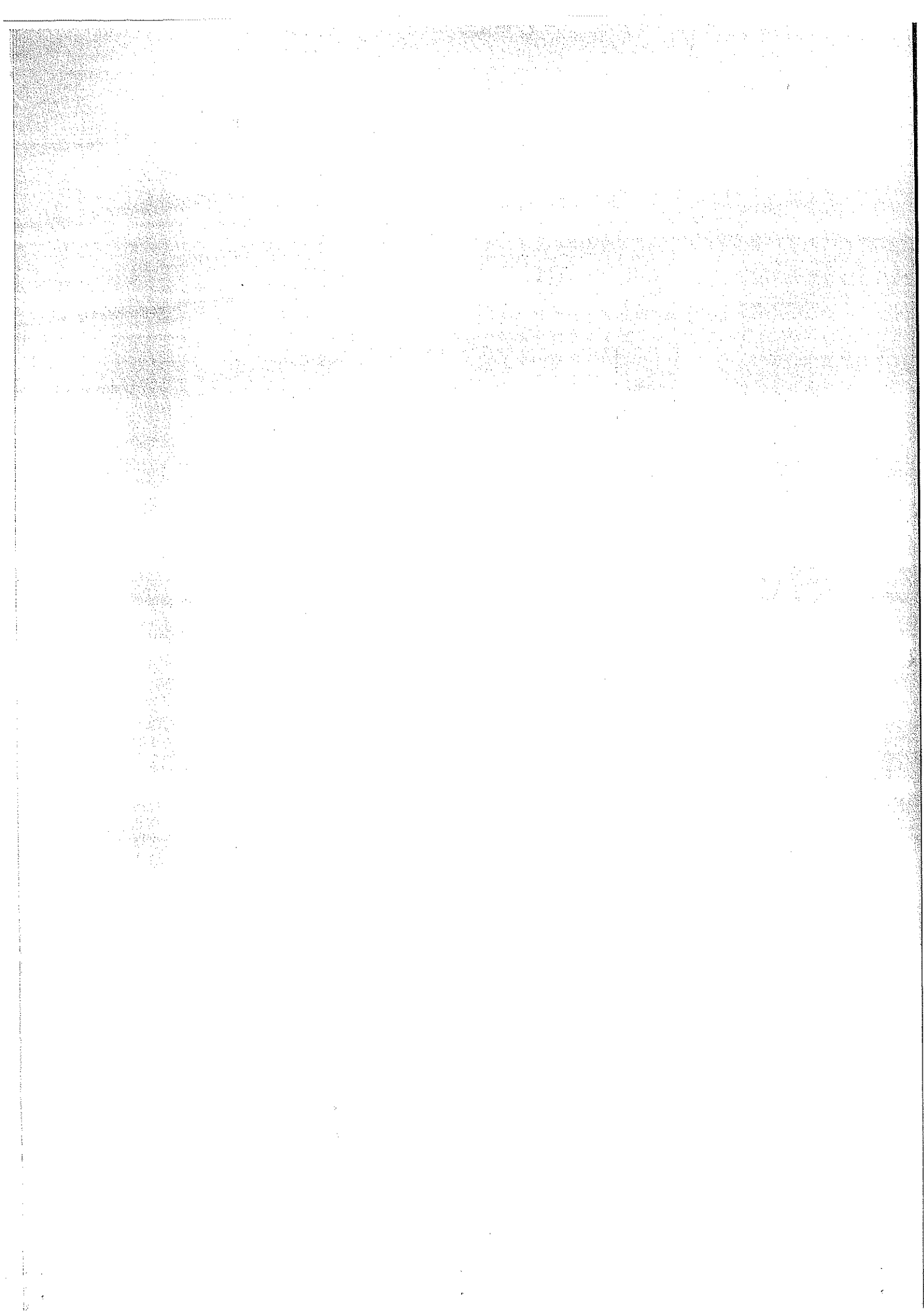
$$G_{SK} = L_K \cdot 3,68 \text{ kP/m} = 257 \text{ m} \cdot 3,68 \text{ kP/m}$$

$$|| G_{SK} = 946 \text{ kP}$$

$$\alpha \leq \frac{G_{tot}(e^{\mu_d} - 1) - G_U}{(G_{tot} + G_{sred} + G_{SK})(e^{\mu_d} + 1) + G_U} \cdot f \quad (\text{Ergebnis 8})$$

$$\alpha \leq \frac{4655 \text{ kP} (2,2 - 1) - 2200 \text{ kP}}{(4655 + 900 + 946) \text{ kP} (2,2 + 1) + 2200 \text{ kP}} \cdot 9,81 \text{ m} / \text{m}^2$$

$$\alpha \leq 1,45 \text{ m/m}^2$$



Sürtünme Tanburlu (KOEPE)

Kuyu Nakliyatı

-2-

Xuneljuk.

Bergbaumekanik
Dr. ing. W. Ostermann

4 Ad.

$$b) G_{S1} = G_{S2} = T \cdot 3,68 \text{ kp/m} = 100 \text{ m} \cdot 3,68 \text{ kp/m}$$

$$\parallel G_{S1} = G_{S2} = 368 \text{ kp}$$

$$\alpha_s' \leq \frac{(G_K + G_w + G_{S2})(e^{\mu_d} - 1) - G_u}{(G_K + G_w + G_{S2} + G_{Sred})(e^{\mu_d} + 1) + G_u} \cdot f \quad (E_S + t_k \cdot k_9)$$

$$\alpha_s' \leq \frac{(3200 + 1600 + 368) \text{ kp} (2,2 - 1) - 2200 \text{ kp}}{(3200 + 1600 + 368 + 900) \text{ kp} (2,2 + 1) + 2200 \text{ kp}} \cdot 9,81 \text{ m/s}^2$$

$$\parallel \alpha_s' \leq 1,76 \text{ m/s}^2$$

Müsade edilen yarastirma, perfek halat apır. likitlerin hesabta koefisant hesaplanan $1,45 \text{ m/s}^2$ ye karşılık, once ihsas tesisleri için Alman Maden Nizamnamesinin sadeleştirilmiş formülne göre hesaplanan $1,76 \text{ m/s}^2$ arasındaki farklar dikkate değerdir. Doğrusu BERGHOFF sisteminde göre kurulacak vinçler sadece kör kuyular için üretilmelidir ve kışık ve orta ihsas tesisleri için Alman maden nizamnamesinin müsade edilen (eniyelli) yarastama (azalan ivme) hesapları gerekine alınmalıdır. Burada sırtlinme faktöründeki halat sekme kurvetlerinin oranı $0,8 \cdot e^{\mu_d}$ değerini şebekelelidir. Hesaplama, BERGHOFF ile göre kurulan sırtlinme faktörlerinin halat kurşunların yarastırıldığı konusunda bulunmamaktadır.

Sırttümme taşıburbu naktiyatlarında, yük -22-
indirilirken yarastırma ile ilişkili enaz ihsan
fesisi 1' in Alınan maddeden nizamnamesinde hareket
ve emniyet frenlerinin statik emniyet katsayıları
en az 3 olmalıdır.

Kömür ve malzeme naktiyatlarında olasıdır. Fazla
yükler en az 3 emniyet katsayılarında olacak ve
hareket frenlerinde olduğu gibi emniyet frenlerinde de
sistemi durduracaktır.

Aynı yükleme koşullarındaki hareket frenleri,
en az 2m/s^2 yarastırma (azalan ivme) karşılaması
lidir. Vinci gerekligiinde hareket freniyle yarastır-
maya, hafif kaymayaak şekilde yinlendirmelidir.

Emniyet frenlerinde ise vinci tüm fren kurveti
ni etkili hale getirme imkanının sahibidir. Bu nedenle,
yuklevinde verilen yükleme orantısında emniyet frenin-
den dolayısıyla olası bilek yarastırma hesaplanarak
bulundur degerden %10 dan daha fazla ve %10 dan
dahta en az olmalıdır. Statik emniyet katsayıları
en az 2 ve yarastırma en az $1,2 \text{m/s}^2$ olmalıdır.

Alınan maddeden nizamnamesinde parabolik frenler
ise sırttümde deger ($\mu = 0,4$) verilirken sırttümme
taşburbu ile hafif kaymayaak sırttümde deger
 $\mu = 0,25$ alınmalıdır (sırttümde hesaplanması istenir).

Örnek : Hareket ve emniyet freni bir arada (Şekil 5) ve her biri 1000 kp olan 6 adet araca basından oluşan bir faydalı yük verilmiştir.

- Hareket freni için statik emniyet katsayısi, $\gamma_{ISI} = 3,47$ ve

- Emniyet freni için statik emniyet katsayısi, $\gamma_{ISI} = 3,18$

Düzenleri hesaplanmıştır.

- Hareket ortasına göre fren kuvvetleri;

 - Hareket freni için : $F_{BF} = 20860 \text{ kp}$

 - Emniyet freni için : $F_{BS} = 19100 \text{ kp}$

- ve Emniyet freninin fren etkili kuvveti,

 - $F_A = 3000 \text{ kp}$

 - olarak bulunmuştur.

- Diğer veriler önceki örnekler gibidir
yani :

$$T = 640 \text{ m} ; G_K = 5800 \text{ kp} ; G_W = 3200 \text{ kp} ;$$

$$G_N = G_O = 6000 \text{ kp} ; G_{S1} = G_{S2} = 5370 \text{ kp} ;$$

$$\mu = 0,25 ; \alpha = 186^\circ ; e^{\text{ad}} = 2,25 ;$$

$$(G D_i^2)_S = 230000 \text{ kp m}^2 ; G_{S\text{red}} = 4700 \text{ kp}$$

Ayrıca Alman mader nizamnamesine göre
faydalı hesaplamalar konusunda işin esasında daki
değerler belirlenmiş:

Sürtünme tərkibinə səvurma momenti;

$$(GD_i^2)_T = 620000 \text{ kpm}^2; D_T = 7,0 \text{ m.}$$

$$G_{\text{Tred.}} = \frac{(GD_i^2)_T}{D_T^2} = \frac{620000 \text{ kpm}^2}{(7,0 \text{ m})^2}$$

$$\parallel G_{\text{Tred.}} \approx 12600 \text{ kp}$$

ihrac makinası üzerinde hərəket eden personaların səvurma momenti,

$$(GD_i^2)_F = 165000 \text{ kpm}^2$$

$$G_{\text{Fred.}} = \frac{(GD_i^2)_F}{D_T^2} = \frac{165000 \text{ kpm}^2}{(7,0 \text{ m})^2}$$

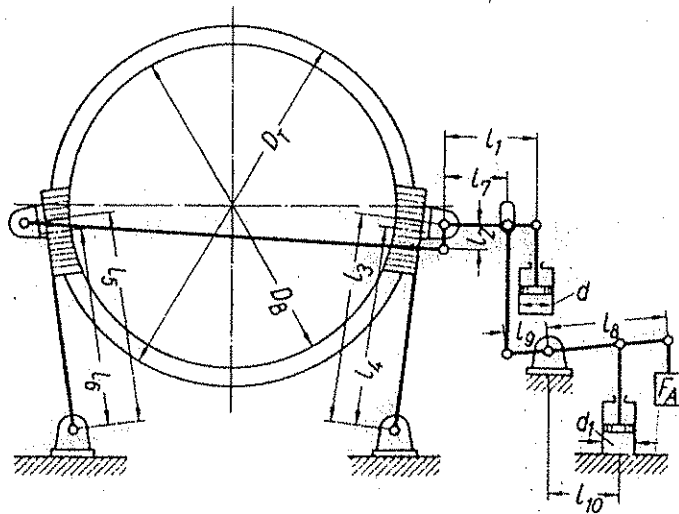
$$\parallel G_{\text{Fred.}} \approx 3400 \text{ kp}$$

Ana ihrac təsisləri iin Alman mədən nizamnaməsinə görə təsisin, hərəket və emniyyət frenləri hesablanır.

Fazlum:

a) Hərəket freni;

Yaradılmış (əzalan ivme) hesablanması pərəmətərlərə əsaslanan toplam ağırlık kuvveti;



Sekil 5- Hareket ve emniyet freni bir arada
(DIN 22403'e göre)

D_T - Sürünme tenbur çapı (Hızın ortasına göre)

D_B - Fren kasnak çapı

d - Hareket silindiri çapı

ρ - Silindir basincı

F_A - Emniyet freninin, fren ejerlik kuvveti

d_T - Kaldırma silindiri çapı (Fren ejerliği için)

η - Fren mekanizma verimi ($\approx 0,90$)

μ - Paruslu frenler için sürünme katsayısı ($\approx 0,8$)

$l_1 \dots l_9$ - Fren mekanizma kolları

F_{BF} - Hareket freni için, halat ortasına göre fren kuvveti

$$F_{BF} = \frac{\pi d^2}{4} \cdot \rho \frac{l_1}{l_2} \left(\frac{l_3}{l_4} + \frac{l_5}{l_6} \right) \eta \mu \cdot \frac{D_B}{D_T}$$

F_{BS} - Emniyet freni için, halat ortasına göre fren kuvveti

$$F_{BS} = F_A \frac{l_8}{l_9} \frac{l_7}{l_8} \left(\frac{l_3}{l_4} + \frac{l_5}{l_6} \right) \eta \mu \cdot \frac{D_B}{D_T}$$

$$2 G_R = 2 \cdot 5800 \text{ kp} = 11600 \text{ kp} \quad (\text{2 Ad. Kafes})$$

$$G_{S1} \dots \dots = 5370 \text{ kp}$$

$$G_{S2} \dots \dots = 5370 \text{ kp}$$

$$2 G_W = 2 \cdot 3200 \text{ kp} = 6400 \text{ kp} \quad (\text{2 Ad. bos oçak arabası})$$

$$2 G_{S_{red}} = 2 \cdot 4700 \text{ kp} = 9400 \text{ kp} \quad (\text{2 Ad. molet})$$

$$G_{Tred} \dots \dots = 12600 \text{ kp}$$

$$G_{Fred} \dots \dots = 3400 \text{ kp}$$

$$G_N = G_U \dots \dots = 6000 \text{ kp}$$

Toplam ağırlık kuvveti: $G_{ges} = 60160 \text{ kp}$

Hareket freninin karşılayabileceğini garanti etmek ($\alpha_{20\%}$ için ivme),

$$F_{BF} - G_U = m \cdot \alpha_F$$

$$\alpha_F = \frac{F_{BF} - G_U}{m} = \frac{F_{BF} - G_U}{G_{ges}} \cdot g$$

$$\alpha_F = \frac{(20840 - 6000) \text{ kp}}{60160 \text{ kp}} \cdot 9,81 \text{ m/s}^2$$

$$\parallel \alpha_F = 2,42 \text{ m/s}^2 \quad (\text{uygun})$$

($\alpha_F \geq 2,0 \text{ m/s}^2$ olmalıdır. Sayfa: 22)

b) Emniyet freni;

Alman standartlarında emniyet frenlerinin güvenliği ve faydalı yük indirilebilken hedef kaymamasını enjekliyen garantisinde (birazdan ivme)

$$\alpha'_S = \frac{(G_K + G_W + G_{S2}) (e^{\mu_d} - 1) - G_U}{(G_K + G_W + G_{S2} + G_{Sred}) (e^{\mu_d} + 1) + G_U} \cdot f \quad (\text{Es.H.k 9})$$

$$\alpha'_S = \frac{(5800 + 3200 + 5370) \text{ kp} (2,25 - 1) - 6000 \text{ kp}}{(5800 + 3200 + 5370 + 4700) \text{ kp} (2,25 + 1) + 6000 \text{ kp}} \cdot 9,81 \text{ m/s}^2$$

||. $\alpha'_S = 1,72 \text{ m/s}^2$

Emniyet freninin etkililediği gerçek yarım uzunluk
(uzunluk α zaten içinde),

$$F_{BS} - G_U = m \cdot \alpha_S$$

formüllerinden hesaplanabilir

$$\alpha_S = \frac{F_{BS} - G_U}{m} = \frac{F_{BS} - G_U}{G_{pes}} \cdot f$$

$$\alpha_S = \frac{(19100 - 6000) \text{ kp}}{60140 \text{ kp}} \cdot 9,81 \text{ m/s}^2$$

||. $\alpha_S = 2,14 \text{ m/s}^2$

İsteneden, $\alpha_S \leq \alpha'_S$ olmalıdır, factat hesap
sonucuna göre, $\alpha_S (= 2,14 \text{ m/s}^2) > \alpha'_S (= 1,72 \text{ m/s}^2)$
bulundur. Alınan nüzümindeki en düşük
faktör

$$\alpha_S \leq \alpha'_S = 1,72 \text{ m/s}^2 \geq 0,90 \cdot \alpha'_S = 0,90 \cdot 1,72 \text{ m/s}^2 = 1,55 \text{ m/s}^2$$

$$\text{Seçilen : } \underline{\alpha_s = 1,65 \text{ m/s}^2}$$

Bu değerle, halat ortasına göre en büyük fren kuvveti hesaplanır;

$$F'_{BS} = m \cdot \alpha_s + G_U = \frac{G_{fes.}}{F} \cdot \alpha_s + G_U$$

$$F'_{BS} = \frac{60140 \text{ kp}}{9,81 \text{ m/s}^2} \cdot 1,65 \text{ m/s}^2 + 6000 \text{ kp}$$

$$\underline{\parallel F'_{BS} = 16100 \text{ kp}}$$

Emniyet freninin fren ağırlık kuvveti $F_A = 3000 \text{ kp}$ olacak alınmıştır. F'_{BS} değerine göre fren ağırlık kuvveti,

$$F'_A = F_A \cdot \frac{F'_{BS}}{F_{BS}}$$

$$F'_A = 3000 \text{ kp} \cdot \frac{16100 \text{ kp}}{19100 \text{ kp}}$$

$$\underline{\parallel F'_A = 2530 \text{ kp}}$$

Daha küçük olan değer seçilir.

Sıradı, bu fren ağırlık kuvveti ile gerek statick emniyet koefisyonu hesaplayabiliriz.

$$V_s = \frac{F'_{BS}}{Gü} = \frac{16100 \text{ kp}}{6000 \text{ kp}}$$

$$\underline{\underline{V_s = 2,68 \text{ (Uygun)}}}$$

($V_s \geq 2$ olmalıdır. Sayfa: 22)

b) Sürünme tənburlu (KOEPE) ve elektrik fəriklili vinslerin fəsərimi.

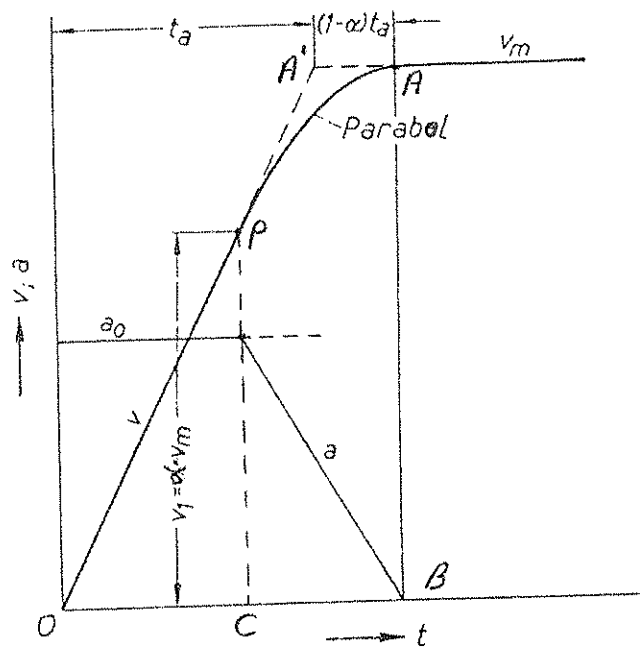
Burodocki incelemeler, DIN 22300'e görə norm lastırılmış sürünme koşnoketli vinslerde sınırlanır. Genelde firmalar tərəfindən yapılan fərikli püpleri böyük ihraç məkinələrinin en önemli əzəllikləri, hərəkətə başlarken püplerin əsiri pik deşərlərə yüksəlməməsi və bu uypulxmayıda hiz kontrol sistemleriyle sağlamasıdır.

Genelde vinslerin püpleri, sabit düzən bir hizda (V_m) ulasıncaq kəndən sabit ivmeylə (α_0) hesablanırken, ihraç məkinələrin püplerinin hesablanmasında isə Şəkil 6 dəki eibi diyagramları pöz ünине alınmalıdır.

Kəfəs və ya skip, lineer olaraq vertən bir hizda $t = t_{AC}$ sn. de. P nöktəsindəki $V_i = \alpha_0 V_m$ hizına malisə. $\alpha_{AC} = \alpha_0 \text{ m/s}^2$ olup sabittir.

P : İstənilən t sn. A nöqtəsindən bir parabol boyunca $t = t_{CB}$ sn. de. $V = V_m$ sabit hizına səkar.

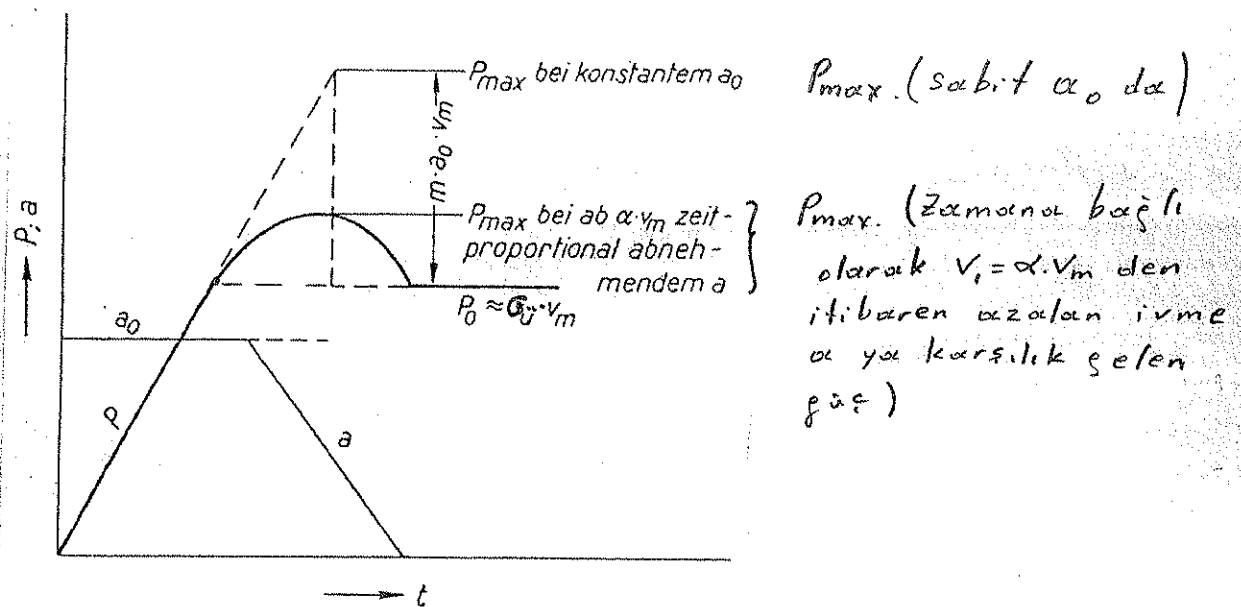
$v_p = v_i = \alpha \cdot v_m$ hızından $v = v_m$ sabit hızda ekip - 30
ken azalan ivme de $\alpha_{azalan} = \alpha$ doğrusu boyunca
lineer olarak azalır ve A noktasında v_m hızı
sabit olduğundan $\alpha_{Bazalan} = 0$ olur.



Sekil 6 - Zamanla bağlı olarak yaradisi kalkis (yol verme) için hız diayagramı.
 $t_{A'A} = (1-\alpha) \cdot t_a$ dir. fünlük;
A noktasında, $\alpha = 1$ ve $t = t_B$
olup $\alpha = 1$ için $t_A \rightarrow t_B$ dir.

Sekil 6'daki hareket diayagramı incelediginde, bu hareket seklinin kalkis süresini gösteren paralitik polaysitde, farklı derin olmayan kuyuların önemli görülen doldurulma ve boşaltma için gerekli bekleme süreleri de öneksiz hale gelir.

Zamanla bağlı olarak, sabit ivmeli (α_0) kalkis (yol verme) ve azalan ivmeli (α) pür değişim: Sekil 7 de gösterilmiştir.



Sekil 7- Hızlı ve ırmeli kalkış (yol verme) i̇sin şüf̄diagramı. (Sekil 6 ya göre)

LOEBNER'e göre şüf̄ pik değerleri P_0 , sabit hızda, $a = 0,7$ i̇sin 1,27 kat hesaplanırken sabit ırmeli hareketlerde 1,7...2,0 katına kadar olabilir maktadır.

Kalkış faktör şüf̄ pik değerlerinin orzeltılması yönünde, teknik şüf̄ 1000 kW'ın üzerinde olan büyük ihracat makinalarının seçimiyle dolma ekonomik sonuçlar alınmıştır. Bu sadece piderek piyasa kalkış ırmeli teknik düzenlerinde olup pribi düşüren okim motoru ile teknik edilen ihracat makinalarının minimumudur.

Alternatif okimli ardıcı ve hızlı şüf̄ tekniklerin kırıksız hizlarda hiz degriminini zamanaor bağılı olarak piyasa kalkış ırmesiyle tutmack

mümkin değildir. Ayrıca, ileriide gösterileceğii gibi, alternatif akım motorunun gücü, akım ısısına göre ölçülür. Vincerde kısa süreli püs pik değerlerinin yalnız motora büyükluğu üzerindeki etkisi çok azdır ve bu da normalastırılmış (standard) motora büyüklikleri içinde yer almaktadır.

Bir kuyu taşıtlıyat tesisinin tosorunu, günlük iş kapasitesine ve günlük taşıtlıyat süresine göre yapılır. Verilen derinlige göre taşıtlıye hizları gibi, irme ve yavaşlama verileri, hareket olıyapıcı mindan kafesin bir seferdeki sadece hareket zamanının belirlenmesi için çok iyi seçilmelidir. Bu zamanın, yükleme ve boşaltma işin peşen bekleme zamanı da eklenerek olur. Bekleme zamanı da dairen çok işletme deneyimlerinden - eğer özel besteme tesisleri yoksa - yararlanarak hesaplanır. Veriler işletmeler tarafından toplanarak umucunda uygun şekilde bir arayac getirilir ve bunan üzerine vincin işsizlik tosorunu. Bir kuyu vincinin tosorlanması ve hesaplanması için en iyi koşulların ortaya konulması bir örnek yapalım.

Örnek : 3. ve 5. katlar arasında bulunan kümüllerlerinden içinde, 1080 L-litrelük vagonlarla (çark arabaları) 750 araba kümür üretilecektir. İki kat arası yüksekliği yaklaşık 720 m dir.

: 33-

Burası için bir üretim ve birde röamble varlığısı düşünülmüştür. Bu işletme için gerekli görülen röamble malzemesi $460 \text{ m}^3/\text{fan}$ hesaplanmıştır. ve bu malzeme 5. kattan 3. kat ta sekildecektir. Nakliye vinci olarak DIN 22300'e göre bir model gündeme gelmektedir. Röamble malzemesi nakliyesi için 5. katta stok silosu ve yükleme cebi, 3. katta yüksek kapasiteli bir silo boşaltma için öngörülmüştür.

5. kattaki stok silosu, bir katlar yükseliğinde 100 m^3 röamble malzemesini alacak kapasitede tutulurken, 3. kattaki silo, günlük röamble malzemesi ihtiyacını karşılayacak şekilde yüksek tutulmuştur. Böylece, Şekil 8 de görüldüğü gibi karşı ağırlıklı bir skip nakliyatı sefilmiştir

3. Kat üzerindeki skip : yükseltiğin (yolu) - 35m.

Katlar arasındaki mesafe - - - - - 120 m

5. Kat altinda skip'in en derin konumu - - 25 m

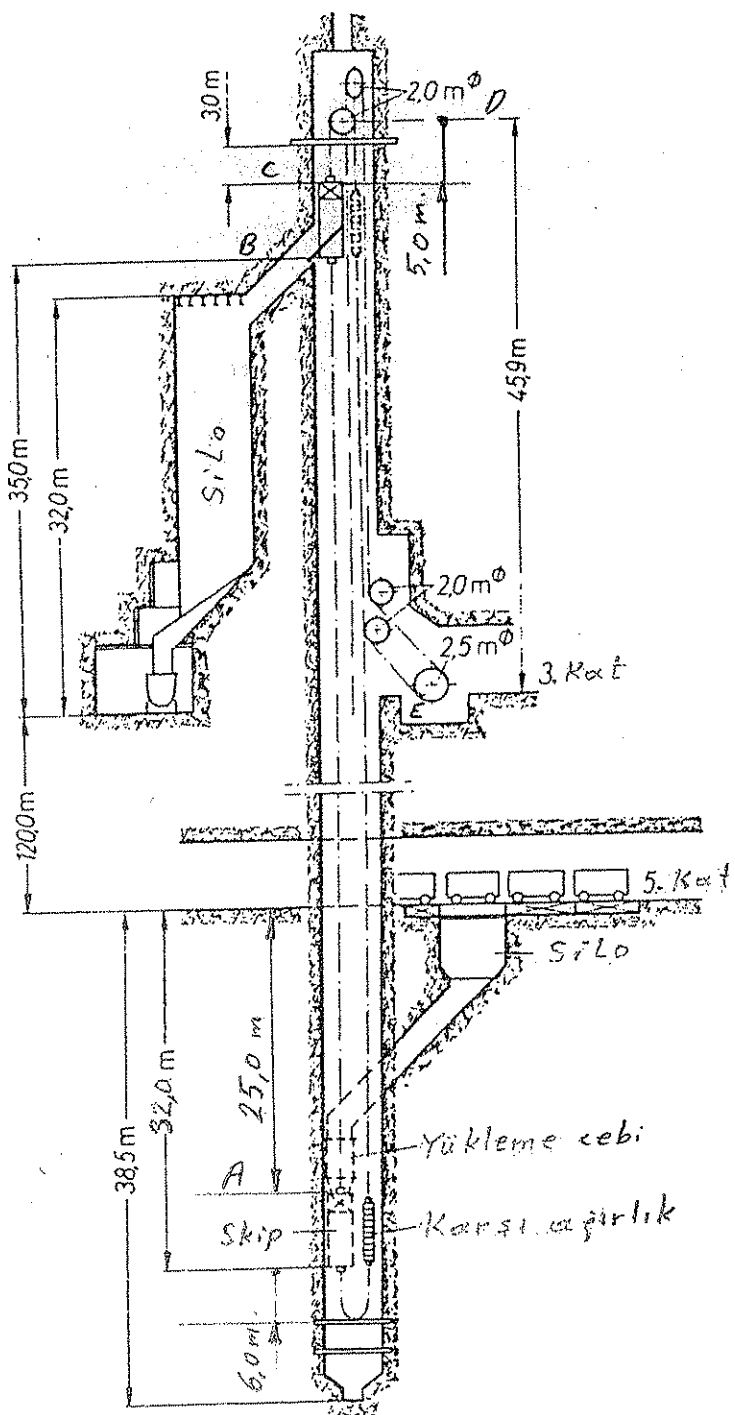
$$\text{Toplam hareket yolu } s = 180 \text{ m.}$$

Karşı ağırlıklı, denge halath ve tek dolamlı skip nakliyatına karar vermiştim. Bu nakliyat sisteminde, çalışma hızı 4 m/sn , artan (hızlanma) / ve azalan (γ - yavaşlama) ivme $0,5 \text{ m/sn}^2$ alınmıştır (Hesaplar, 0,4 ve $1,0 \text{ m/sn}^2$ arasındaki değerler ile yapılır).

1-) Hareket diyagramı ;

Kalkış süresi,

$$t_{\alpha} = \frac{v_m}{\alpha_{\alpha}} = \frac{4 \text{ m/sn}}{0,5 \text{ m/sn}^2}$$



Sekil 8. BERGHOFF 'e fare kurulan vincin (Sekil 6b)
kuyu makliyal kesiti ile karsi ağırlikli
ve denge halothi skip makliyatl sistemini.
(örmə)

$$\parallel t_{\alpha} = 8 \text{ sn.}$$

Kalkül yolu,

$$s_{\alpha} = \frac{1}{2} t_{\alpha} \cdot v_m^2 = \frac{v_m^2}{2 \cdot \alpha_{\alpha}}$$

$$s_{\alpha} = \frac{1}{2} \cdot 8 \text{ sn} \cdot 4 \text{ m/sn}$$

$$\parallel s_{\alpha} = 16 \text{ m.}$$

Yarışlama süresi,

$$t_v = \frac{v_m}{\alpha_v} = \frac{4 \text{ m/sn}}{0,5 \text{ m/sn}^2}$$

$$\parallel t_v = 8 \text{ sn.}$$

Yarışlama yolu,

$$\parallel s_v = s_{\alpha} = 16 \text{ m.}$$

Sabit hızla (v_m)威名 yol,

$$s_m = s - (s_{\alpha} + s_v)$$

$$s_m = 180 \text{ m} - (16 + 16) \text{ m}$$

$$\parallel s_m = 148 \text{ m.}$$

Sabit hız süresi,

$$t_m = \frac{s_m}{v_m} = \frac{148 \text{ m}}{4 \text{ m/sn}}$$

$$\parallel t_m = 37 \text{ sn.}$$

Skip'in bir seferindeki net hareket süresi;

$$t = t_a + t_m + t_v = (8 + 37 + 8) \text{ sn.}$$

$t = 53 \text{ sn.}$

Bir noktaya hareketinin toplam süresi;

Bir skip'in doldurulma süresi - - - 8 sn.

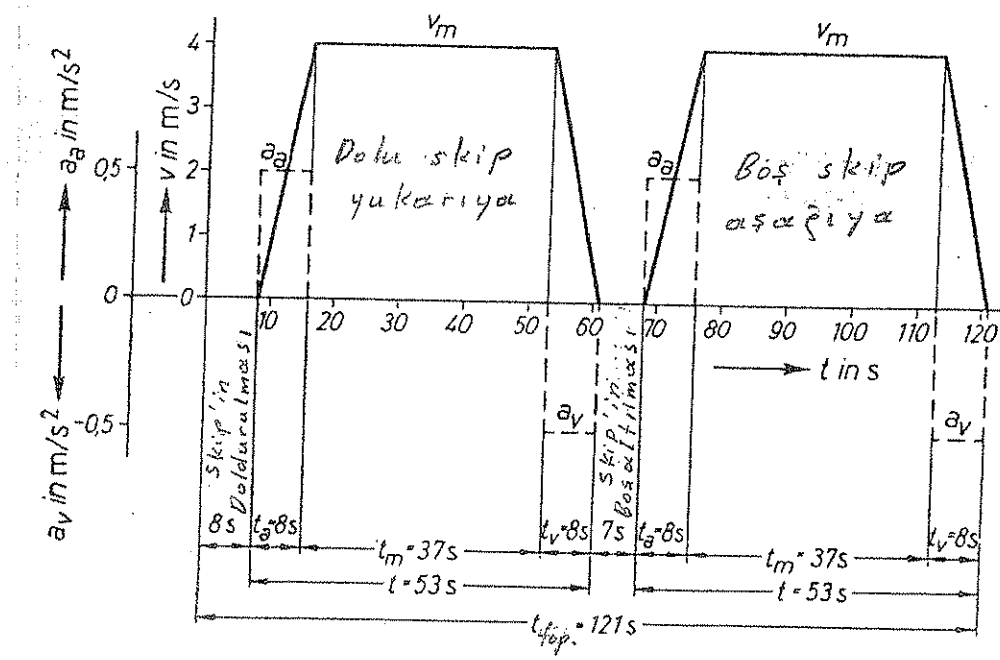
Dolu skip'in yukarı harek süresi - - - 53 "

Bir skip'in boşaltma süresi - - - 7 "

Bos skip'in aşağı hareket süresi - - - 53 "

Toplam süre $t_{top} = 121 \text{ sn}$

Hareket diyagramı Şekil 9 da gösterilmiştir.



Şekil 9. Hareket diyagramı. $v, a, \alpha = f(t)$.
(örnek)

2-) Skip ve koari: olşılık;

Simdi, skip'in gerekliliğe sahip olan kapasitesini hesaplayalım. Ramble malzemisinin naokli bir vardiyaya düşünmüştür. Vardiyadaki çalışma süresi $t_{var.} = 6,5$ saat olacak tespit edilmiştir ve bu sürenin %30'u insa naokli ve küçük arızalar dolayısıyla, koyup zuarmen koebul edilmiştir.

Bu verilere göre vardiyadaki skip sefer sayısı,

$$z = \frac{\%70 \cdot t_{var.}}{t_{top}} = \frac{0,70 \cdot 6,5 \text{ saat}}{124 \text{ sn.}} = 3600 \text{ sn./saat}$$

$\parallel z = 135 \text{ sefer/vardiyoe}$

Vardiyada; 3. koftedən sıklarıda da 460 m³ ramble malzemesi skip tərəfindən taşınırsa şəhərde şəhərdeki skip'in faydalı hissəsi,

$$V_G = \frac{460 \text{ m}^3/\text{vardiyoe}}{135 \text{ sefer/vardiyoe}}$$

$\parallel V_G = 3,4 \text{ m}^3/\text{sefer}$

Ramble malzemisinin yoğunluğu,

$$\gamma_{HB} = 1,8 \text{ MP/m}^3$$

Dolayımıyla faydalı yük,

$$G_N = V_G \cdot \gamma_{HB} = 3,4 \text{ m}^3 \cdot 1,8 \text{ MP/m}^3$$

$\parallel G_N = 6,12 \text{ MP}$

Skip'in kendi ağırlık kuvveti,

$$G = 6,0 \text{ MP} \quad \text{dir.}$$

Karşı ağırlık, faydalı yük yüklenen sekilde yüklenen yörenin karşı ağırlık farkından karşılaşılmış gib; aynı şekilde boş skip ağırlığı indirilende yüklenen yörenin karşı ağırlık farkından karşılaşılmaması düşündürmekle bulunur.

$$G_G = G + \frac{G_W}{2}$$

$$G_G = (6,0 + \frac{6,12}{2}) \text{ MP}$$

$$\underline{\underline{G_G = 9,06 \text{ MP}}}$$

Sekil B, BERGHOFF'a göre 3. kat inset seviyesine kurulmuş, nafta yüklü bir kuyu nafta yüklüğünü göstermektedir.

3-1 Taşınan halotin (Ana nafta yüklüğü)
hesaplanması;

Hareket yolu $s = 180\text{m}$. Skip'in durduğu en yüksek seviye ile molet arasında halot uzunluğu 5m . ve skip'in durduğu en alt seviye ile deniz halotinin (alt halot) kıvrım yaptığı seviye arasında kalan deniz halotının uzunluğu 6m .dir.

Polymerlerin halot uzunluğu

$$T = 180\text{ m} + 5\text{ m} + 6\text{ m}$$

$$\parallel T = 191 \text{ m.}$$

Malzeme nakli (ihraç) için öngörülen halat emniyet katsayısi (statik emniyet faktörü),

$$V \geq 7,2 - 0,0005 \cdot T \quad (10)$$

olmalıdır (Alman madden nizamnamesine göre).

T - Molek ortası ile skip'in (kaferin veya karısı) yapılışının durduğu en alta seviye arasındaki mesafe veya yük altındaki net halat boyu.

$$T = 5 \text{ m.} + 35 \text{ m} + 120 \text{ m} + 25 \text{ m}$$

$$\parallel T = 185 \text{ m}$$

$$V \geq 7,2 - 0,0005 \cdot 185$$

$$\parallel V \geq 7,11$$

Güvenlikli halatin nominal tel mukavemeti

$$\sigma_B = 160 \text{ kp/mm}^2$$

se filistir. Lif özü bütün yuvarlak halatların övgül yapılışı, $\gamma_s = 9,5 \cdot 10^{-6} \text{ kp/mm}^3$ dir. Poliyüksel külhane düşüre halat içinde dyni deperi olabiliriz.

Geçici metruk halat kesitini bulalım,

$V \geq 7,11$ edilen şartla (emniyet faktörleri),

$$\sigma_{\text{em.}} = \frac{\sigma_B}{V} = \frac{F}{A_s} \quad (11)$$

F - Hafat yükü

$$F = G + G_{ZW} + G_N + G_S$$

G - Skip veya koferin kendi ağırlık kuvveti.

G_{ZW} - Kosum takımı ağırlık kuvveti (skip ve karsı ağırlık kırıtları üzerine, her tıkkisine de eşit bir şekilde edilir)

$$G_{ZW} = 390 \text{ kp dir.}$$

G_N - Skip veya koferin faydalı yükü

G_S - T' hafat boyunca karsılık gelen hafat ağırlık kuvveti

$$G_S = 10^3 \cdot T' \cdot A_s \cdot \gamma_s$$

G_S	T'	A_s	γ_s
kp	m	mm^2	kp/mm^3

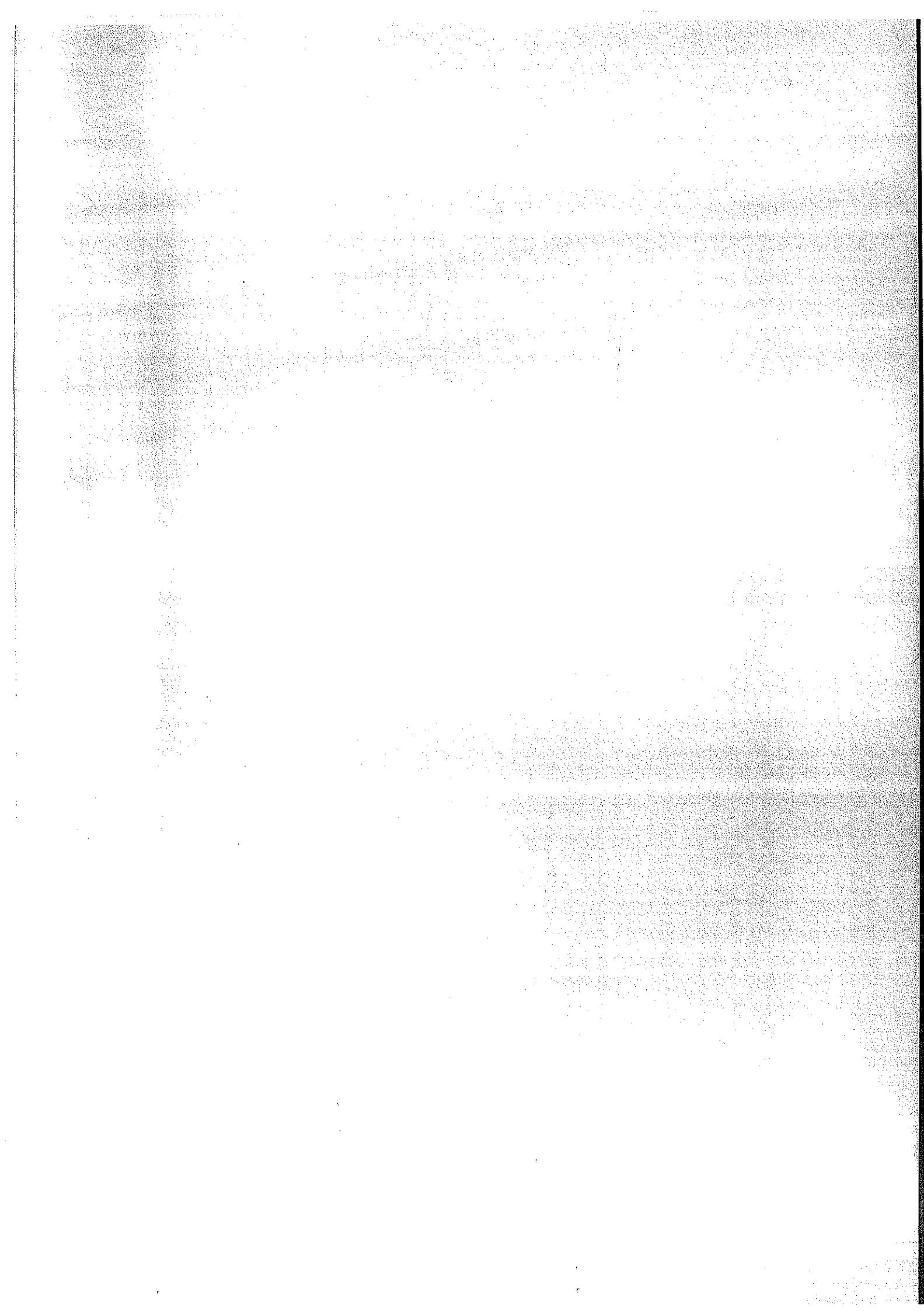
A_s - Hafatın metaliğin kesit alanı,

$$\sigma_{em.} = \frac{(G + G_{ZW} + G_N) + 10^3 \cdot T' \cdot A_s \cdot \gamma_s}{A_s} = \frac{\sigma_B}{V}$$

$$\frac{G + G_{ZW} + G_N}{A_s} + 10^3 \cdot T' \cdot \gamma_s = \frac{\sigma_B}{V}$$

$$A_s = \frac{G + G_{ZW} + G_N}{\frac{\sigma_B}{V} - 10^3 \cdot T' \cdot \gamma_s} \quad (12)$$

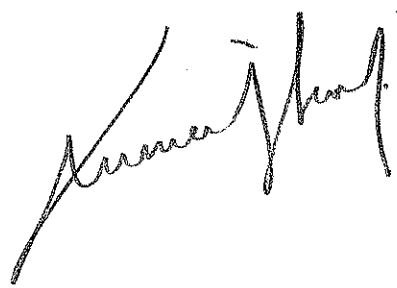
elde edilen hesaplamalar



Sürtümme Taenburlu (KOEPE)

Kaya Nakliyatı

-3-



(Bergbau mechanik
Dr. Ing. W. Ostermann)

4 Ad.

$$A_s = \frac{6000 + 390 + 6120}{\frac{160}{7,11} \cdot 10^3 \cdot 191 \cdot 9,5 \cdot 10^{-6}}$$

$$\| A_s = 605 \text{ mm}^2$$

Cetvel 1'e göre,

Tarafıya halat $6 \times 35 - 42 \times 160 z/z$ DIN 21255 parlanıltır,
seçtilir (Sürtünme təbəburlu məbləğat iñin)

Burada,

Kordon veya elemət sayısi : 6

Her kordondakı tel sayısı : 35

Nominal halat çapı : $d = 42 \text{ mm}$

Nominal tel mühəcivəti : $F_B = 160 \text{ kp/mm}^2$

Düz sıfır dolamlı halat : z/z

Ayrıca,

Halatın metaliyik kesiti : $A_s = 672 \text{ mm}^2$

Halatın birim ağırlık kuvveti : $6,38 \text{ kp/m}$

Halatın hesablı kopma yükü : $F_{Br} = 107500 \text{ kp}$

değerleri elde edilir.

Denge halatını (alt halat) Cetvel 2'ye göre
seçebiliriz,

Tek dikili yassı halat,

$6 \times 4 \times 7 - 95 \times 21 \times 160$ DIN 21256 parlanıltır

* : Gepresst daben (serim) sz yesz z S : Helet, aus furan demetternin serim tellemin saram halflar
 yoni (2 ves) helet demetternin serim yonler. (2 ves) sickine tars olen halflar.
 Ar. Gepresst serim heletter dorne direncl; heletterdir.
 Noz dolam (serom) z z yesz S : Benet des ket fellerinin saram yonler. (2 ves) helet demetternin serim yonler. (2 ves) syn olen halflar.
 Helet demetternin saram yonler. (2 ves) syn olen halflar. Dies serim halflar
 donebilien heletterdir.

Werrinfon tipi koplamach foyici helet DIN 21255

Cebel 1 - Förderseile in gedeckter Warrington-Machart nach DIN 21255

Gaff 2
 Kreuzschlag Sol dolam h
 rechtsängig S/Z
 rechtsängig S/Z



* Die Drähte in den Litzen haben entgegengesetzte Drehrichtung
 gegenüber der Drehrichtung im Seil

* Die Drähte in den Litzen haben entgegengesetzte Drehrichtung im Seil
 gegenüber der Drehrichtung im Seil

Bezeichnung eines Rundförderseiles mit Aufbau 6×35 Drähte, von 60 mm Nenn durchmesser, mit einer Nennfestigkeit des Einzeldrahtes von 180 kp/mm², in Gleitschlag rechtsgängig (z/Z), Aufführung blank, für Treibscheibenförderung:
 Förderseil $6 \times 35 - 60 \times 180 \text{ z/Z DIN 21255 blank}$, für Treibscheibenförderung

Anzahl der Litzen	Sel.- nenn- durch- messer aller Drähte einer Litze	Sel.- nenn- durch- messer aller Drähte einer Litze	Draht-Nenn durchmesser		Außen- lage	Metall- scher Quer- schnitt des Seiles mm ²	Rechnerische Bruchlast des Seiles in kp bei Nennfestigkeit des Einzeldrahtes in kp/mm ²
			Innen- lage Kern mm	Mittellage mm			
1	28	1,4	1,3	1,0	1,3	1,6	302
1	30	1,5	1,4	1,05	1,4	1,5	343
6	32	1,6	1,5	1,1	1,5	1,8	387
6 + 6	34	1,7	1,6	1,2	1,6	1,9	438
12	36	1,8	1,7	1,25	1,7	2,0	487
6	38	1,9	1,8	1,35	1,8	2,1	542
	40	2,0	1,9	1,4	1,9	2,2	598
							5,68
							107600
							113600

Tabellen-Anhang

Cebek - Review

Tabellen-Anhang

Aufbau der Drahtseile dieser Norm 6 Litzen und 1 Faserstofteinlage. Bei Seilen mit Aufbau 6×46 Drähte besteht der Kern aus einem Kerndraht und 6 weiteren Einzeldrähten. Bei Bestellung ist mit Rücksicht auf eine sachgemäße Schmierung stets anzugeben, ob das Seil für eine Trommel- oder Treibscheibenförderung bestimmt ist. Förderseile nach dieser Norm werden im allgemeinen in Gleischlag rechtsängig (z/Z) geliefert. Rundförderseile aus Stahlseilen 160, 170 und 180 kp/cm² werden blank oder verzinkt, mit 190 kp/cm² nur blank geliefert. Technische Lieferbedingungen nach DIN 21254.

- ① Sürümme fanburlu mühendislik sistemleri (KOEPE) isin; nominal tel mukavemeti 180 kp/mm^2 ve halat nominal çapı 60 mm olan koplama (Galvanizli) telli, düz soğ döşemli ($z/2$), 6×35 Warrington təsisi halatın püsterilişi:

Təsisi halat $6 \times 35 - 60 \times 180 z/2$ DIN 21255

Adedi			
Kordon	1 Kordondağı teller	Bütün teller	

② Halat nominal
çapı

Tolerans: $\pm 5\%$

③ Tel - Nominal çapı

Fekirdeki (öz)	is kest	Orta kest	Düz kest	
mm	mm	mm	mm	mm

④ Halatın metalik
keşit ölçüsü

mm	mm

(6)

Birim ağırlığı:
kg/m²

Tolerans: -%2
+%5

(7)

$\text{H}\ddot{\alpha}\text{lactin teorik (hesaplanan) kırımcı mukavemeti:}$

kp

Tel nominal mukavemeti

kp/mm²

160

170

180

190

Tabellen-Anhang

Tafel 2. Unterteile (Flachseile) (DIN 21256)

Bezeichnung eines doppelt genähten Flachunterteiles mit Aufbau $6 \times 4 \times 12$ Drähte von Breite $b = 130 \text{ mm}$ und Dicke $s = 29 \text{ mm}$, mit einer Nennfestigkeit der Einzeldrähte der tragenden Litzen von 140 kp/mm^2 , Ausführung verzinkt:
Flachunterteil $6 \times 4 \times 12 - 130 \times 29 \times 140 \text{ DIN 21256}$

① Nenngröße Breite $b \times$ Dicke s mm $\pm 10\%$	②		③ Metallili- scher Quer- schnitt mm ²	④ Masse (des geschmiedeten Selles) kg/m $\pm 5\%$		⑤ Rechnerische Bruchlast des Flachseiles in kp bei einer Nennfestigkeit des Einzeldrähtes von 140 kp/mm ²
	doppelt genäht	einfach genäht		doppelt genäht	einfach genäht	
⑥ Aufbau: $6 \times 4 \times 7 = 6$ Schenkel zu je 4 Litzen zu je $1 + 6$ Drähten = 168 Drähte						
70×17	70×15	1,60	338	3,5	3,4	47300
74×18	74×16	1,70	381	4,0	3,8	53300
78×19	78×17	1,80	427	4,5	4,3	59700
82×20	82×18	1,90	477	5,0	4,8	66700
87×21	87×19	2,00	528	5,5	5,3	73900
91×22	91×20	2,10	581	6,1	5,8	81300
95×23	95×21	2,20	638	6,7	6,4	89300
Aufbau: $8 \times 4 \times 7 = 8$ Schenkel zu je 4 Litzen zu je $1 + 6$ Drähten = 224 Drähte						
110×20	110×18	1,90	636	6,7	6,4	89000
113×20	113×18	1,95	670	7,0	6,7	93800
116×21	116×19	2,00	703	7,4	7,0	98400
119×21	119×19	2,05	739	7,8	7,4	103400
122×22	122×20	2,10	775	8,1	7,8	108500
125×22	125×20	2,15	813	8,5	8,1	113800
128×23	128×21	2,20	851	8,9	8,5	119100
Aufbau: $6 \times 4 \times 12 = 6$ Schenkel zu je 4 Litzen zu je $3 + 9$ Drähten = 288 Drähte						
112×26	112×23	1,90	818	8,6	8,2	114500
115×26	115×23	1,95	861	9,0	8,6	120500
118×27	118×24	2,00	904	9,5	9,0	126500
121×27	121×24	2,05	950	10,0	9,5	133000
124×28	124×25	2,10	996	10,5	10,0	139400
127×28	127×25	2,15	1045	11,0	10,5	146300
130×29	130×26	2,20	1094	11,5	10,9	153100
Aufbau: $8 \times 4 \times 12 = 8$ Schenkel zu je 4 Litzen zu je $3 + 9$ Drähten = 384 Drähte						
146×26	146×23	1,90	1091	11,5	10,9	152700
149×26	149×23	1,95	1148	12,1	11,5	160700
154×27	154×24	2,00	1206	12,7	12,1	168800
157×27	157×24	2,05	1267	13,3	12,7	177300
160×28	160×25	2,10	1329	14,0	13,3	186000
165×28	165×25	2,15	1394	14,6	13,9	195100
168×29	168×26	2,20	1459	15,3	14,6	204200
Aufbau: $8 \times 4 \times 14 = 8$ Schenkel zu je 4 Litzen zu je $4 + 10$ Drähten = 448 Drähte						
160×27	160×24	1,90	1272	13,4	12,7	178000
164×28	164×25	1,95	1340	14,1	13,4	187600
168×28	168×25	2,00	1407	14,8	14,1	196900
172×29	172×26	2,05	1478	15,5	14,8	206900
176×29	176×26	2,10	1550	16,3	15,5	217000
180×30	180×27	2,15	1626	17,1	16,3	227600
184×30	184×27	2,20	1702	17,9	17,0	238200
Aufbau: $8 \times 4 \times 19 = 8$ Schenkel zu je 4 Litzen zu je $1 + 6 + 12$ Drähten = 608 Drähte						
186×31	186×28	1,90	1727	18,1	17,3	241700
190×32	190×29	1,95	1818	19,1	18,2	254500
194×33	194×30	2,00	1909	20,1	19,1	267200

Cetvel 2 - Alt halat (Yassi halat) veya
Denge halatı. DIN 21256

Nominal tel mukavemeti: 160 kp/mm^2 , nominal genişliği:
 $b = 130 \text{ mm}$ ve nominal kalınlığı: $s = 29 \text{ mm}$ olan
 $6 \times 4 \times 12 = 288$ telli çift dikişli galvanizli yassi
 alt halatın gösterilisi:

Yassi alt halat $6 \times 4 \times 12 - 130 \times 29 \times 160$ DIN 21256

(1) Nominal boyutluklar

Genişlik $b \times$ Kalınlık s

mm
 $\pm 1\%$

çift dikişli	Tek dikişli
--------------	-------------

(2) Tel nominal

Faops:

mm

(3) Metalik kesit
veken:

mm²

(4) Birim ağırlığı
(Yağlanmış halatın)

kg/m
 $\pm 5\%$

çift dikişli	Tek dikişli
--------------	-------------

⑤

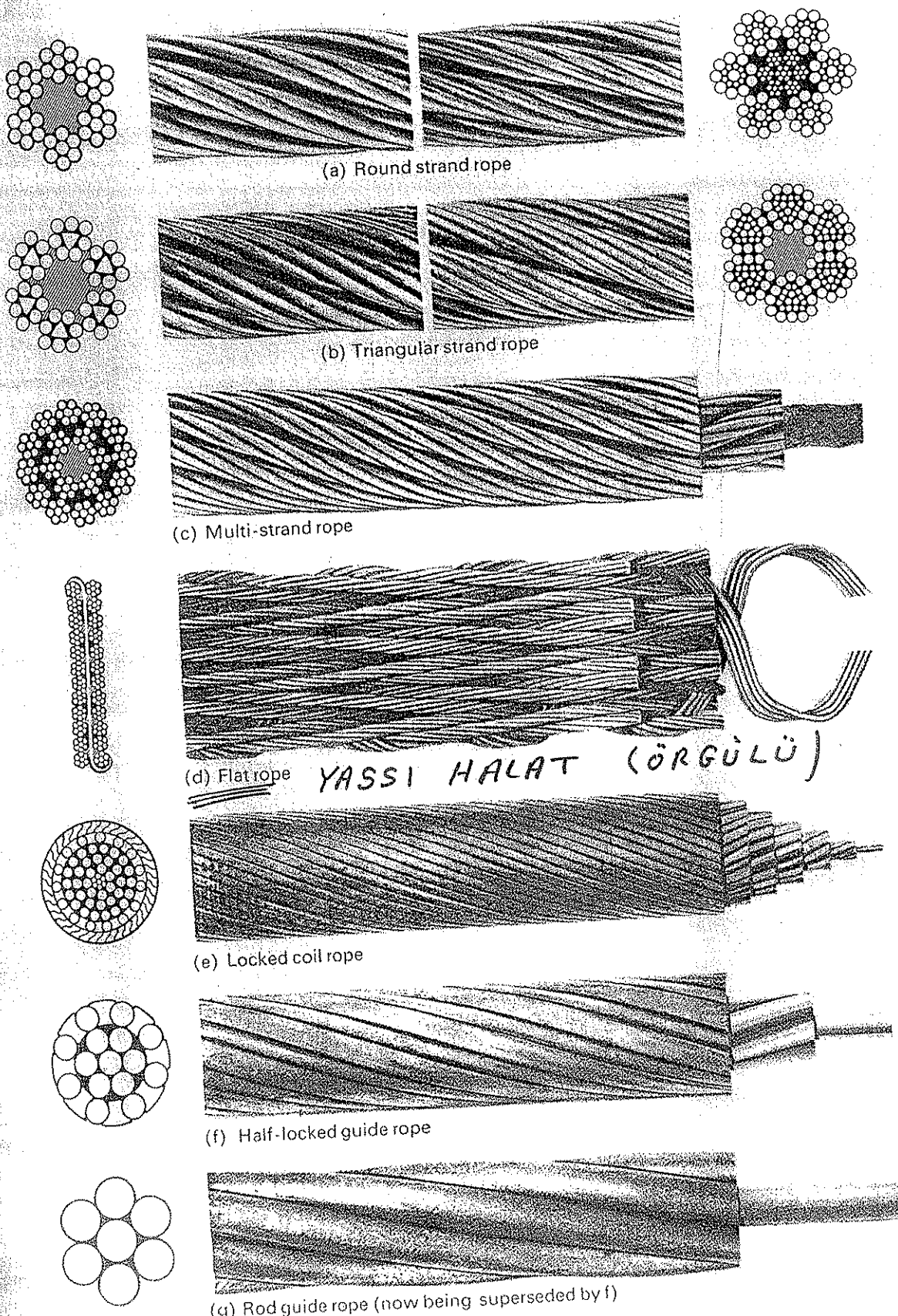
Yassi halatın teorik (hesaplanmış) kapma mukavemeti
 k_p

Tel nominal mukavemeti
 940 kp/mm^2 de.

⑥

Konstrüksiyon : $6 \times 4 \times 7 = 168$ Telli

(6 Kol, her kol iki 4 kordon ve her kordon iki 7+6 Tel)



SMRE

(a) and (b) each show simple (left) and compound (right) forms of construction.

Figure 5. Ropes and rope sections

Ropeman's Handbook

15

National Coal Board, Mining Department

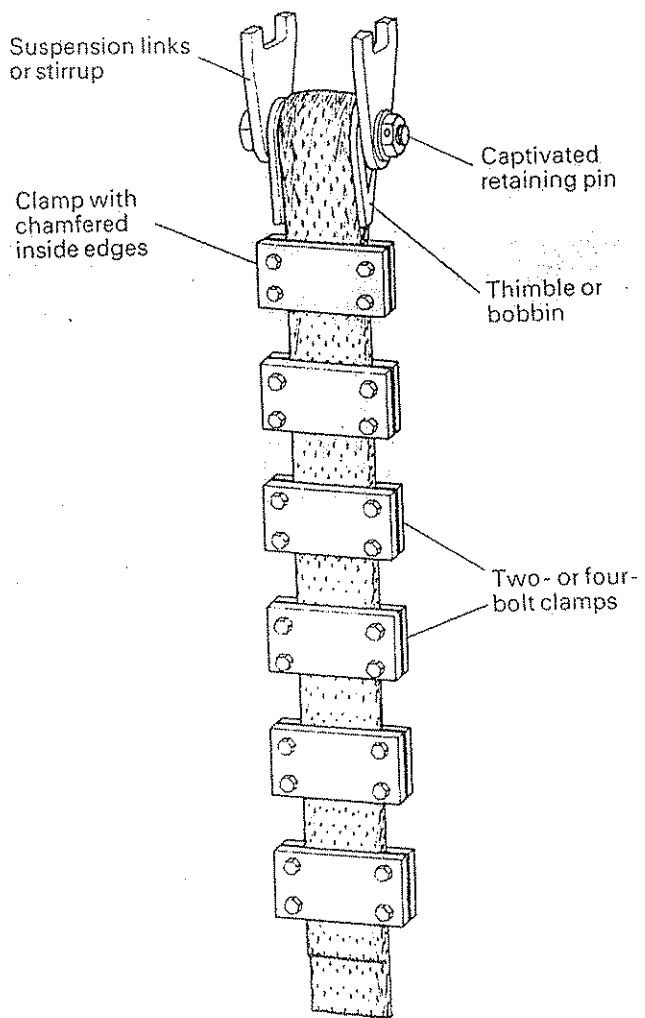


Figure 67. Typical terminal fastening for flat balance rope

Examination of balance ropes

It is important that balance ropes are examined regularly. Apart from the daily examination, British Regulations do not require balance ropes to be examined in detail every 30 days, as specified for winding ropes, but maintenance procedures should include provision for the periodic thorough examination of balance ropes. Proper access and adequate lighting are necessary so that the examinations can be carried out safely and effectively. Where the onsetter can, from his normal working position, observe the balance rope, he should be encouraged to do so in order that any unusual movement may be noted and the cause investigated before damage occurs.

Burada,

Tel sayısı : $6 \times 4 \times 7 = 168$ adet

Nominal genişlik : $b = 95$ mm

Nominal kalınlık : $s = 2,1$ mm

Nominal tel mukavemeti : $\sigma_B = 140$ kp/mm²

Halatın metaltik kesit alanı : $A_S = 638$ mm²

Halatın birim ağırlık kuvveti : 6,4 kp/m (Yüçüklenmiş halat)

Halatın hesaplı kopma yükü : $\sigma_{Br} = 89300$ kp

Gördüğü gibi, yükselenmiş yassi halatın birim ağırlık kuvveti 6,4 kp/m olup, taşıyıcı halat ile (6,38 kp/m) arasındaki birim ağırlık kuvveti farklılığın çok az olması nedeniyle farklı bir önem taşımaz.

4-) Taşıyıcı (nakliye) halatının uzunluğu ;
 Farklı yüklerde sıkışan bir taşıyıcı veya
 nakliye halatının uzunluk değişimleri test
 edilmeli ve bu test sonuçlarının göre skip
 ayarları planlanmalıdır. Örnek problemimize
 bakarak oluşturulan skip'in, en ağır faydalı
 yükle göre 3. ve 5. koattaki ayarları yeter-
 li olacaktır.

Nakliye halatının ;

Fisikselde modülü : $E = 1,4 \cdot 10^6$ kp/cm²
 Metaltik kesiti : $A_S = 6,72$ cm²

Skip 5. kat altindaki yükleme konumunda,

• skip - molef - fahrik fanburnu arasındaki

fəsiyicə halətin net uzunluğu: $L_1 = 237,5 \text{ m}$.

($\overline{AB} + \overline{CD} + \overline{DE}$ + Halət eprilik uzunlukları, Şekil 8)

• təyadəlli yük : $G_N = 6120 \text{ kp}$

Halətəki uzamox,

$$\Delta L_1 = \frac{G_N \cdot L_1}{E \cdot A_s} \quad \begin{array}{|c|c|c|c|c|} \hline \Delta L_1 & G_N & L_1 & E & A_s \\ \hline \text{m} & \text{kp} & \text{m} & \text{kp/cm}^2 & \text{cm}^2 \\ \hline \end{array} \quad (13)$$

$$6120 \text{ kp} \cdot 237,5 \text{ m}$$

$$\Delta L_1 = \frac{6120 \text{ kp} \cdot 237,5 \text{ m}}{1,6 \cdot 10^6 \text{ kp/cm}^2 \cdot 6,72 \text{ cm}^2}$$

$$\parallel \Delta L_1 = 0,154 \text{ m} = 154 \text{ mm}$$

Skip 3. kat üzərindəki boşaltımox konumunda,

skip - molef - fahrik fanburnu arasındaki

fəsiyicə halətin net uzunluğu : $L_2 = 57 \text{ m}$.

($\overline{CD} + \overline{DE}$ + Halət eprilik uzunlukları, Şekil 8)

• Halətəki uzamox,

$$\Delta L_2 = \frac{G_N \cdot L_2}{E \cdot A_s} = \frac{6120 \text{ kp} \cdot 57 \text{ m}}{1,6 \cdot 10^6 \text{ kp/cm}^2 \cdot 6,72 \text{ cm}^2}$$

$$\parallel \Delta L_2 = 0,037 \text{ m} = 37 \text{ mm}$$

5.) Molef, saptırmox kəsnəçisi və sürfünmə
fanburnu (fahrik fanburnu),

Orta ve küçük ihsas tesisleri için Alman
nizamnamesine göre, molek ve soprörme koenack-
lerinin çapları, halat çapının en az 40 katı
olmalıdır.

$$D_s \geq 40 \cdot d$$

$$D_s \geq 40 \cdot 42 \text{ mm} = \phi 1680 \text{ mm}$$

$$\parallel D_s = \phi 2000 \text{ mm} \quad (\text{Seçilen})$$

DIN 22300'e göre 230 kW vitesi için, surtünme
həcmi \varnothing 2500 mm

$$\parallel D_T = \phi 2500 \text{ mm}$$

almıştır.

Halat yüzey basincını inceliyelim. Bunun için önce,
oluşabilecek en büyük yükteki halat kuvvetlerini
hesaplayalım (Ramble malzemənəklə skip ile yapılı-
yor ve skip 3. kat üzerindeki boşaltma konumundur)

Yüzey basinci, F_{st} (skip) + F_{s2} (kip) olmalıdır

$$P = \frac{F_{st} + F_{s2}}{D_T \cdot d} \quad (F_{st}, F_{s2} \text{ için } S:48 \text{ e bakt})$$

$$P = \frac{(13732 + 10668) \text{ kp}}{250 \text{ cm} \cdot 4,2 \text{ cm}}$$

$$\parallel P = 23,2 \text{ kp/cm}^2$$

Reçerit halifmetəl istər keçmiş mənbələr iñin

$$\beta = 20 \dots 25 \text{ kp/cm}^2$$

deşərlərinə müsbəcə edilmişdir.

Sürtünme Tənbərli (KOEPE)

Kayu Nakliyatı

- 4 -

Kerem İnal

(Bergbau mechanik
Dr. ing. W. Ostermann)

GHD

Skip ferrocindöki; kavşetter F_{S1}	Karsı, övürlik ferrocindöki; kavşetter F_{S2}
Təq:yci; halat 5m, 6,38 kp/m = 32 kp	185m (= 5m + 35m + 120m + 25m). 6,38 kp/m = 1180 kp
Skip	—
6000 kp	9060 kp
Karsı, övürlik kavşeti:	—
Koşum tələmə:	390 kp
Faydalı yük	6120 kp
Dəniz halatı (alt halat)	38 kp
186m (= 35m + 120m + 25m + 6m); 6,40 kp/m	6m · 6,40 kp/m
Təq:yci; halətin stolik yığası 13732 kp	10668 kp

6-) Təhrik motorunun hesablanması ;

DIN 22300' e şəre夫 farzı, motorun nominal devir sayısı,

$$\parallel n_M = 735 \text{ d/dək.}$$

Sürtünme fətbərənun (Koepke fətbəri) devir

sayısi n_T ,

$$v_m = \frac{\pi \cdot D_T \cdot n_T}{60} \quad \begin{array}{|c|c|c|c|} \hline v_m & D_T & n_T \\ \hline \text{m/sn} & \text{m} & \text{d/dək} \\ \hline \end{array} \quad \dots \quad (14)$$

D_T - Sürtünme fətbəri çəpı

$$D_T = \phi 2500 \text{ mm} \quad (\text{Sayfa : 47})$$

v_m - Nakliyat sisteminin rəqəmsal hizi (Hərəkət salıf - ma hizi)

$$v_m = 4 \text{ m/sn} \quad (\text{Sayfa : 33})$$

$$n_T = \frac{v_m \cdot 60}{\pi \cdot D_T} = \frac{4 \text{ m/sn} \cdot 60 \text{ sn/dək}}{\pi \cdot 2,5 \text{ m.}}$$

$$\parallel n_T = 30,6 \text{ d/dək.}$$

Mekanizmanın qeyriim oranı

$$i = \frac{n_M}{n_T} = \frac{735}{30,6}$$

$$\parallel i = 24$$

iki fətbəri mekanizmanın (distili) kəndul

ədədi 24 olmalıdır.

$$\gamma_v = 0,92$$

Kuya verimi γ_s ,

Kuyudaki haletin, sırtlinmesiz gücün, F_R sırtlinme kuvvetli gücüne oranıdır (sırtlinmesiz halef gücün, sırtlinmeli halef gücüne oranıdır)

$$\gamma_s = \frac{Gü \cdot v_m}{(Gü + F_R) \cdot v_m} \quad (14)$$

Buorden, kuyudaki sırtlinme kuvveti,

$$F_R = \frac{Gü}{\gamma_s} - Gü \quad - - - \quad (15)$$

denkleminden hesaplanır.

$Gü$ - Faydalı yükün şekilmesinde olusun en büyük fazla (esiri) yük. (ilerde hesaplanacak).

Kuya verimi γ_s ;

Gök işi bakırh ve malzeme koyma (kilovarlı) kuyular da % 94,

Bakırız kuyular isin de % 85

olabilir.

Savurma momenti ve halef ortasına indirimmiş ögürlik kuvvetleri;

a) Vins isin $G D^2$ (sırtlinme faktör miline bağlı olarak);

Sürtünme fanbur ($D_T = \phi 2,5 \text{ m}$) --- $GD^2 = 11800 \text{ kpm}^2$

Sürtünme fanbur milinde elastik konrova $GD^2 = 800 \text{ kpm}^2$

iki kademeli mekanizma $i = 24:1$ --- $GD^2 = 10800 \text{ kpm}^2$

Motor milinde Periflex konrova

$$(GD_i^2)_M = 49 \text{ kpm}^2$$

$$GD^2 = (GD_i^2)_M \cdot i^2 = 49 \text{ kpm}^2 \cdot 24^2 = 28200 \text{ kpm}^2$$

Motor rotoru $(GD_i^2)_A = 140 \text{ kpm}^2$ (Kabul edilen motor 230 kW)

$$GD^2 = 140 \cdot i^2 = 140 \cdot \text{kpm}^2 \cdot 24^2 = 80700 \text{ kpm}^2$$

Vincin savurma momenti --- $(GD^2)_H = 132300 \text{ kpm}^2$

Vincin hələt ortasında indirgenməsə dərəcəlik kuvvetleri;

$$Gred_H = \frac{(GD^2)_H}{D_T^2}$$

D_T - Sürtünme fanbur çapı ($= \phi 250 \text{ mm}$. Sayfa: 47)

$$Gred_H = \frac{132300 \text{ kpm}^2}{(2,5 \text{ m})^2}$$

$$\parallel Gred_H = 21200 \text{ kp}$$

β) Məlet (2 Ad.) və suptrimer kəsnəklərinin (2 Ad.)

çapları $D_S = \phi 2,0 \text{ m}$. Her bir kəsnənin

savurma momenti; $(GD^2)_S = 1750 \text{ kpm}^2$.

Her iki məlet və suptrimer kəsnəklərinin hələt

ortasında indirgenməsə dərəcəlik kuvvetleri;

$$G_{redS} = 4 \frac{(GD^2)_S}{D_S^2} = 4 \frac{1750 \text{ kpm}^2}{(2,0 \text{ m})^2}$$

$$\parallel \text{Gred.S} = 1750 \text{ kp}$$

özel olacak; herkete gosome veya kalkis inmesindeki;
ölu yükler, faydalı yük de dahil olmak üzere asapitolaki
gibidir :

Nockliyat vinci: Gred.H = 21200 kp
= kp

4 Ad. Haalaf koersnoei GreedS = - - - - - 1750 kp

$$\text{Karsı ölçütik } G_G = - - - - - - - - 9060 \frac{\text{kp}}{\text{l}}$$

$$2 \text{ Ad. Koşum takımı } 2 G_{ZW} = 2 \cdot 390 \text{ kp} = \dots \dots \dots 780 \text{ kp}$$

$$\text{Tasvirici (nakliye) hizlari } 305\text{m} \cdot 6,38 \text{ kp/m} = - - 1966 \text{ kp}$$

$$\text{Dense (alt) hat bei } 192 \text{ m : } 6,40 \text{ kp/m} = \dots = 1229 \text{ kp}$$

$(192 \text{ m.} = 35 \text{ m} + 120 \text{ m} + 25 \text{ m} + 6 \text{ m} + 6 \text{ m})$

Toplam ölü yük + Faydalı yük ... $G_{\text{tot}} = 48085 \text{ kp}$.

Faydalı yükün şekillmesinde en büyük etken (faktör) yük, asırıdaki gibi hesaplanır,

$$G_U = G + G_V - G_G = (6000 + 6120 - 9060) \text{ kip}$$

$$G_0 = 3060 \text{ kPa}$$

Kaydeden: sertinme kuvveti, kuyu veriminin $\gamma_s = 0,85$ değeri ile eşitlik 15 uen hesaplanır.

$$F_R = \frac{G_U}{\gamma_s} - G_U = \frac{3060 \text{ kp}}{0,85} - 3060 \text{ kp}$$

$$\parallel F_R = 540 \text{ kp}$$

Üç noktaya bölümünün dindürme momentlerini;

- a. Kalkış (Harekete geçme veya ivme) momenti M_α ,
- b. Yarımçılmak momenti M_V (Her iki ivmede eşit olmalıdır: $\alpha_A = \alpha_B = 0,5 \text{ m/s}^2$)
- c. Asılı yüklerin statik moment M_{St}

oluşturmaktaadır.

$$M_\alpha = M_V = \frac{G_{tot.}}{f} \cdot \alpha \cdot \frac{D_T}{2} = \frac{48085 \text{ kp} \cdot 0,5 \text{ m/s}^2 \cdot 2,5 \text{ m}}{9,81 \text{ m/s}^2 \cdot 2}$$

$$\parallel M_\alpha = M_V = 3060 \text{ kp m}$$

$$M_{St} = (G_U + F_R) \frac{D_T}{2} = (3060 + 540) \text{ kp} \cdot \frac{2,5 \text{ m}}{2}$$

$$\parallel M_{St} = 4500 \text{ kp m}$$

Nakliye evrelerine
göre
Döndürme momentleri:

Sürtünme tozbur
milinde
 M_T

Motor - milinde

$$M_M = \frac{M_T}{\epsilon \cdot \gamma_v} = \frac{M_T}{24 \cdot 0,92}$$

Harekete geçme (Kalkül)
 $M_1 = M_{el} + M_{st}$

7560 kpm

342,5 kpm

Sabit hız

4500 kpm

203,8 kpm

$M_2 = M_{st}$

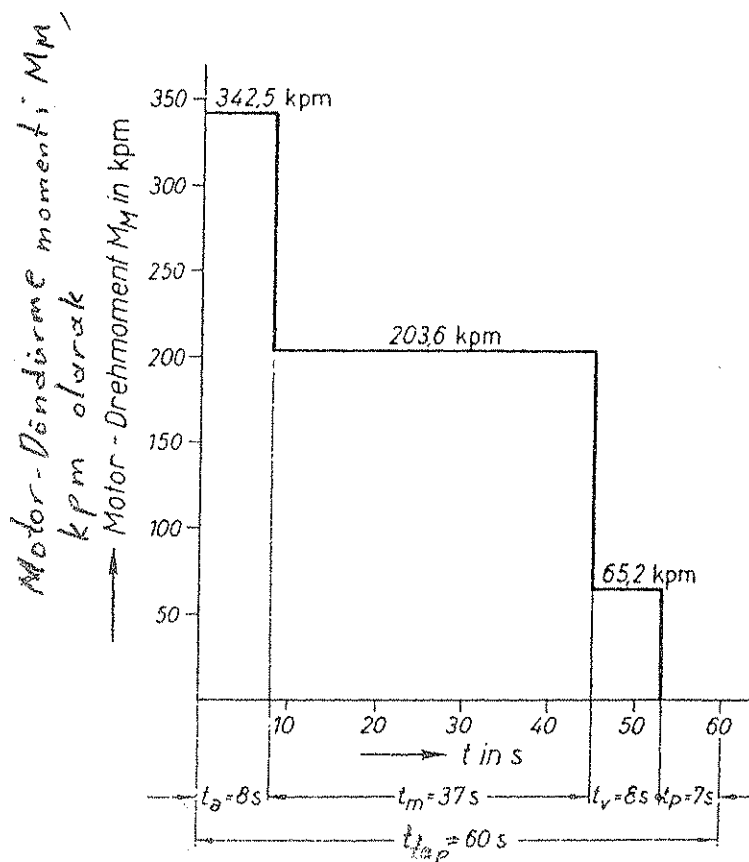
1440 kpm

65,2 kpm

Yavaslaşma

$M_3 = M_{st} - M_{el}$

Motor döndürme momentinin zamanı göre
defisimi; Sekil 10 da gösterilmiştir.



Sekil 10 - Yüklü bir işin çekilmesindeki,
motor döndürme momenti diye yazılır.
 $M_M = f(t)$

Bu döndürme momentleri ile üre hazırlığı
ye eylesindeki motor güçleri aşağıdaki
formüller hesaplanır

$$P = \frac{M_d \cdot n}{973} \quad \begin{array}{c|c|c} P & M_d & n \\ \hline \text{kW} & \text{Nm} & \text{d/dak} \end{array} \quad (16)$$

Kalkış zamanı t₁ sonunda,

$$P_1 = \frac{M_{M1} \cdot n_M}{973} = \frac{362,5 \cdot 735}{973}$$

$$\parallel P_1 = 258,5 \text{ kW}$$

Sabit hızda t_m süresince,

$$P_2 = \frac{M_{M2} \cdot n_M}{973} = \frac{203,8 \cdot 735}{973}$$

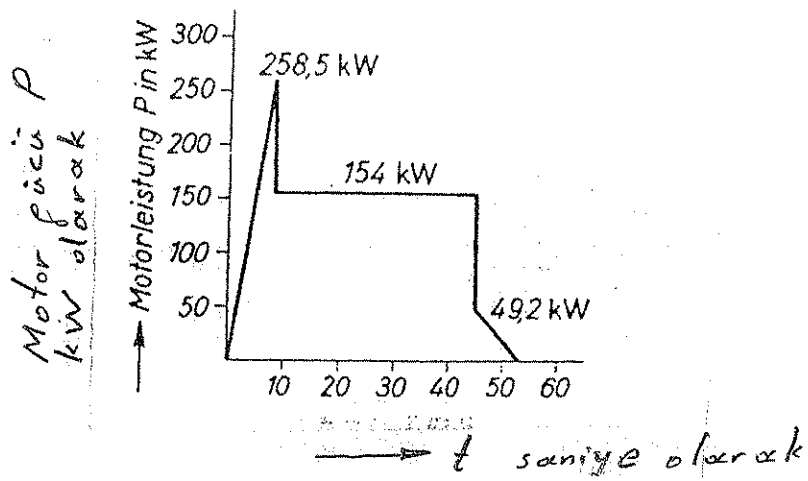
$$\parallel P_2 = 154 \text{ kW.}$$

Yarves formüle zamanı t_v boesinde,

$$P_3 = \frac{M_{M3} \cdot n_M}{973} = \frac{65,2 \cdot 735}{973}$$

$$\parallel P_3 = 49,2 \text{ kW}$$

Sekil 11, motor gücünün zamanla şere değişiminin
vermektedir. Bu şere dijital programının altındaki olarak
ise bir işe konuslu gelmekte olup kW's olarak
ifade edilebilir. Bu iş (veya kaya işi) oynamanın
motor with işin sürekli olan enerjidir ve aşağıdaki



Sekil 11 - Motor gücü diyagramı

$$P_M = f(t)$$

fibit hesaplaması.

$$W_1 = \frac{P_1 \cdot t_{\alpha}}{2} = \frac{258,5 \text{ kW} \cdot 8 \text{ san.}}{2}$$

$$\underline{\underline{W_1 = 1034 \text{ kWs}}}$$

$$W_2 = P_2 \cdot t_m = 154 \text{ kW} \cdot 37 \text{ san.}$$

$$\underline{\underline{W_2 = 5700 \text{ kWs}}}$$

$$W_3 = \frac{P_3 \cdot t_V}{2} = \frac{49,2 \text{ kW} \cdot 8 \text{ san.}}{2}$$

$$\underline{\underline{W_3 = 197 \text{ kWs}}}$$

Diyagramın alınanları hesaplanan toplam ise,

$$W_{top.} = W_1 + W_2 + W_3 = (1034 + 5700 + 197) \text{ kWs}$$

$$\underline{\underline{W_{top.} = 6931 \text{ kWs}}}$$

Diper tarafından kuyu işi,

$$W_{kuyu} = \frac{Gü \cdot s}{\gamma_v \cdot \gamma_s}$$

şeklinde hesaplanabilir burada,

$Gü$ - En büyük yük ($= 3060 \text{ kp}$. Sayfa : 52)

s - Toplam hareket yolu ($= 180 \text{ m}$. S : 33)

γ_v - Mekanizma (Disli) verimi ($= 0,92$. S : 49)

γ_s - Kuyu verimi ($= 0,85$. S : 50, 53)

$$W_{kuyu} = \frac{3060 \text{ kp} \cdot 180 \text{ m}}{0,92 \cdot 0,85 (102 \text{ kp m/kW s})}$$

$$\parallel W_{kuyu} = 6906 \text{ kW s}$$

Toplam iş ($W_{top} = 6931 \text{ kW s}$) ile kuyu işi ($W_{kuyu} = 6906 \text{ kW s}$) arasındaki fazarda edilebilir fark, hesap hatalısından kaynaklanmaktadır.

Elektrik motora nominal gücünün ölçümü;

Elektriksel koymalar ve bunun sonucu ortaya çıkan işi yoklukta olursa akım fiddetinin karesi ile orantılıdır. Nakliye esnasında akım deperterinin ölçülmesi çok zor olduğundan momenti, akımla orantılı olan motorlarda (alternatif akım motorları) nominal hızda (I_n) deperterin momentin karesiyle orantılı olması

$$M_{nom.} = M_{ef.} = \sqrt{\frac{\int_0^t M^2 \cdot dt}{t_{top}}}$$

$$M_n = M_{ef.} = \sqrt{\frac{M_1^2 \cdot t_a + M_2^2 \cdot t_m + M_3^2 \cdot t_v}{t_a + t_m + t_v}} \quad (17)$$

denklemi kullanılır.

Bu efektif moment ve esitlik 16 ile efektif güç hesaplanır:

$$P_{ef.} = \frac{M_{ef.} \cdot n_M}{973} \quad \frac{P_{ef.}}{kW} \mid \frac{M_{ef.}}{kpm} \mid \frac{n_M}{1/dak.} \quad (18)$$

Motorun havalandırılması (dolayısıyla soğutulması) için şunca alınacak havalandırma faktörü,

$$f = \sqrt{\frac{t_a + t_m + t_v + t_p}{(t_a + t_v) \cdot 0,75 + t_m + t_p \cdot 0,25}} \quad (19)$$

terifi ile nominal güç,

$$P_N = f \cdot P_{ef.} \quad (20)$$

bulunur.

t_p - Bir skip'in boşaltma süresi (Şekil 9)

Eşitlik 17 ye göre efektif momenti hesaplayalım,

$$M_1^2 \cdot t_a = (342,5)^2 \cdot 8 = 93,845 \cdot 10^4$$

$$M_2^2 \cdot t_m = (203,8)^2 \cdot 37 = 153,677 \cdot 10^4$$

$$M_3^2 \cdot t_v = (65,2)^2 \cdot 8 = 3,401 \cdot 10^4$$

$$\int_0^t M^2 \cdot dt = 250,923 \cdot 10^4$$

$$M_{ef} = \sqrt{\frac{250,923 \cdot 10^4}{8 + 37 + 8}}$$

|| Mef. = 217,5 kpm

Efektif gücü,

$$P_{ef.} = \frac{M_{ef.} \cdot n_M}{973} \quad (\text{Esitlik 18})$$

$$P_{ef.} = \frac{217,5 \cdot 735}{973}$$

|| Pef. = 164,3 kW

Havalandırma faktörü,

$$f = \sqrt{\frac{t_\alpha + t_m + t_v + t_p}{(t_\alpha + t_v) \cdot 0,75 + t_m + t_p \cdot 0,25}} \quad (\text{Esitlik 19})$$

$$f = \sqrt{\frac{8 + 37 + 8 + 7}{(8+8) \cdot 0,75 + 37 + 7 \cdot 0,25}}$$

|| f = 1,082

Nakliye motorunun gerekli olan gücü,

$$P_N = f \cdot P_{ef} \quad (\text{Esitlik 20})$$

$$P_N = 1,082 \cdot 164,3$$

|| P_N = 178,6 kW

- 60 -

Seçilen 230 kW lik vites motoru (Sayfa: 47)
ayrıca olup, bir sonraki 165 kW lik motor ise
yeterli kalmaktadır.